

# Self-Modulating Spiral Map (SMSM)

*Emergente Rotation und Spiral-Komplexität in einem  
minimalen nichtlinearen System*

Wissenschaftliche Abhandlung

Klaus H. Dieckmann



September 2025

*Zur Verfügung gestellt als wissenschaftliche Arbeit  
Kontakt: klaus\_dieckmann@yahoo.de*

## Metadaten zur wissenschaftlichen Arbeit

**Titel:** Self-Modulating Spiral Map (SMSM)  
**Untertitel:** Emergente Rotation und Spiral-Komplexität  
in einem minimalen nichtlinearen System  
**Autor:** Klaus H. Dieckmann  
**Kontakt:** klaus\_dieckmann@yahoo.de  
**Phone:** 0176 50 333 206  
**ORCID:** 0009-0002-6090-3757  
**DOI:** 10.5281/zenodo.17154398  
**Version:** September 2025  
**Lizenz:** CC BY-NC-ND 4.0  
**Zitatweise:** Dieckmann, K.H. (2025). Self-Modulating Spiral Map (SMSM)

*Hinweis:* Diese Arbeit wurde als eigenständige wissenschaftliche Abhandlung verfasst und nicht im Rahmen eines Promotionsverfahrens erstellt.

# Abstract

Diese Arbeit führt ein neuartiges, diskretes dynamisches System ein, die „Self-Modulating Spiral Map“ (SMSM), das aus einfachsten nichtlinearen Regeln komplexe, spiralförmige Orbits erzeugt. Im Zentrum steht die Analyse der intrinsischen Dynamik: die Entstehung von Rotation, die Struktur von Phasenräumen und die Einführung einer neuen Kennzahl, der „Spiral-Komplexität“, zur Quantifizierung der geometrischen Komplexität von Trajektorien. Die Arbeit erweitert das Modell um dreidimensionale Wirbelstrukturen, numerische Berechnungen von Lyapunov-Exponenten zur Chaosanalyse und die Untersuchung von Synchronisation in gekoppelten Netzwerken. Die Ergebnisse bieten neue Einblicke in die Dynamik nichtlinearer Systeme.

# Inhaltsverzeichnis

<b>I</b>	<b>Die Self-Modulating Spiral Map</b>	<b>1</b>
<b>1</b>	<b>Einleitung</b>	<b>2</b>
<b>2</b>	<b>Definition und Eigenschaften der Self-Modulating Spiral Map (SMSM)</b>	<b>3</b>
2.1	Formale Definition der Abbildung . . . . .	3
2.2	Visualisierung von Orbits und Vektorfeldern . . . . .	3
2.3	Berechnung der Rotation (Curl) und Diskussion der Struktur . . . .	4
<b>3</b>	<b>Spiral-Komplexität: Definition, Berechnung und Interpretation</b>	<b>5</b>
3.1	Herleitung der Kennzahl . . . . .	5
3.2	Abhängigkeit von Parametern . . . . .	5
3.3	Vergleich mit etablierten Komplexitätsmaßen . . . . .	6
<b>4</b>	<b>Dynamische Analyse: Fixpunkte, Bifurkationen, Chaos</b>	<b>7</b>
4.1	Existenz und Stabilität von Fixpunkten . . . . .	7
4.2	Lyapunov-Exponenten zur Quantifizierung von Chaos . . . . .	7
4.3	Poincaré-Schnitte zur Visualisierung invarianter Mengen . . . . .	7
4.4	Numerische Extraktion und Analyse dominanter Strukturen im Rotationsfeld . . . . .	8
4.4.1	Methodik . . . . .	8
4.4.2	Ergebnisse . . . . .	9
4.4.3	Interpretation . . . . .	9
4.5	Numerische Extraktion und vertiefte Analyse dominanter Struk- turen im Rotationsfeld . . . . .	10
4.5.1	Methodik . . . . .	10
4.5.2	Ergebnisse . . . . .	11
4.5.3	Interpretation der Winkelgeschwindigkeitsdifferenz . . . . .	11
4.5.4	Schlussfolgerung . . . . .	12
4.6	Bifurkationsanalyse mittels Poincaré-Schnitt: Visualisierung des Ordnungs-Chaos-Übergangs . . . . .	12
4.6.1	Methodik und Python-Implementierung . . . . .	13

4.6.2	Ergebnisse und Interpretation	13
4.6.3	Bewertung	15
<b>5</b>	<b>3D-Erweiterung: Modellierung dreidimensionaler Wirbelstrukturen</b>	<b>16</b>
5.1	Vorgeschlagene Dynamik	16
5.2	Erwartete Strukturen	16
5.3	Analytische und numerische Herausforderungen	17
5.4	Schlussfolgerung	17
<b>6</b>	<b>3D-Wirbel-Simulation mit dynamischer Lyapunov-Exponenten-Berechnung</b>	<b>18</b>
6.1	Einleitung	18
6.2	Funktionsweise des Codes	19
6.2.1	Systemgleichungen	19
6.2.2	Wahl der Funktionen	19
6.2.3	Lyapunov-Exponenten-Berechnung	19
6.3	Ergebnisse und Interpretation	20
6.3.1	Visuelle Analyse	20
6.3.2	Dynamische Phasen	21
6.3.3	Bewertung des Lyapunov-Exponenten	21
6.4	Fazit	21
<b>7</b>	<b>Ergodizität und invariante Maße</b>	<b>22</b>
<b>8</b>	<b>3D-Spiralmodell mit stochastischer Störung</b>	<b>25</b>
8.1	Motivation und theoretischer Hintergrund	25
8.1.1	Python-Implementierung	26
8.1.2	Ergebnisse und Interpretation	26
8.2	Zusammenfassung und Ausblick	27
<b>9</b>	<b>Analyse der Selbstmodulierenden Spirale in der Komplexen Ebene</b>	<b>29</b>
9.1	Beschreibung des Python-Skripts	30
9.2	Ergebnisse der Simulation	31
9.2.1	Einzelne Trajektorie ( $\omega = 0.05$ )	31
9.2.2	Parameterstudie: Komplexität vs. $\omega$	31
9.3	Interpretation und Bewertung	32
9.3.1	Dynamisches Verhalten	32
9.3.2	Komplexitätsmetrik	33
9.3.3	Ergebnisbewertung	33
9.3.4	Mögliche Erweiterungen	33
9.4	Fazit	33
<b>10</b>	<b>Synchronisation in Netzwerken selbstmodulierender Spiral Maps</b>	<b>34</b>
10.1	Modell und Methodik	35
10.1.1	Einzelne SMSM-Einheit	35

10.1.2	Kopplung im Ring . . . . .	35
10.1.3	Ordnungsparameter . . . . .	35
10.1.4	Initialisierung . . . . .	35
10.2	Beschreibung des Python-Skripts . . . . .	35
10.3	Ergebnisse . . . . .	36
10.3.1	Einzelsimulation mit $K = 0.04$ . . . . .	36
10.3.2	Parameterstudie: $R$ vs. $K$ . . . . .	38
10.4	Interpretation und Diskussion . . . . .	39
10.4.1	Gelingen des Synchronisationsübergangs . . . . .	39
10.4.2	Nicht-monotones Verhalten bei hohem $K$ . . . . .	39
10.4.3	Vergleich mit Kuramoto-Modell . . . . .	40
10.5	Bewertung und Ausblick . . . . .	40
10.5.1	Stärken des Modells . . . . .	40
10.5.2	Schwächen des Modells . . . . .	40
10.6	Ausblick . . . . .	40
<b>II</b>	<b>Diskussion und Ausblick</b>	<b>42</b>
<b>11</b>	<b>Einordnung und Vergleich mit prototypischen Systemen</b>	<b>43</b>
<b>12</b>	<b>Implikationen und mögliche Erweiterungen</b>	<b>44</b>
12.1	Theoretische Implikationen . . . . .	44
12.2	Kontrahierende Spiral-Iteration: Ein geometrisch kontrahieren- des Pendant zur SMSM . . . . .	44
<b>13</b>	<b>Schlusswort</b>	<b>47</b>
13.1	Ausblick . . . . .	48
<b>III</b>	<b>Anhang</b>	<b>49</b>
<b>A</b>	<b>Python-Code</b>	<b>50</b>
A.1	Spirale: Orbits und Komplexität, (Abschnitt. 2.2) . . . . .	50
A.2	Spirale und Fixpunkte, (Abschnitt. 4.4.2) . . . . .	54
A.3	3D-Vortex-Simulation mit Lyapunov-Exponent, (Abschn. 6.3.1) . . . . .	59
A.4	Ergodizität, (Kap. 7) . . . . .	67
A.5	Stochastische 3D-Spirale (Animation), (Abschn. 8.1.2) . . . . .	70
A.6	Komplexe Spirale, (Abschnitt. 9.2.1) . . . . .	79
A.7	Heterogene Kopplung der Spiralen, (Abschnitt. 10.3.1) . . . . .	83
A.8	SMSM mit gekoppelten Oszilatoren (Animation), (Abschnitt. 10.3.1) . . . . .	88
A.9	Inverse Spirale (Animation), (Abschnitt. 12.2) . . . . .	92

A.10 Bifurkation der Spirale, (Abschnitt. 4.6.2) . . . . .	95
A.11 Bifurkationsanalyse (Animation), (Abschnitt. 4.6.2) . . . . .	99
Literatur . . . . .	105

## **Teil I**

# **Die Self-Modulating Spiral Map**



# Kapitel 1

## Einleitung

Die Untersuchung minimaler, nichtlinearer Systeme, die komplexe, strukturierte Dynamik hervorbringen, ist ein zentrales Thema der modernen Dynamischen Systeme. Diese Arbeit führt ein neuartiges, diskretes dynamisches System ein: die „Self-Modulating Spiral Map“ (SMSM). Ihr Kernmerkmal ist die Fähigkeit, aus einfachsten deterministischen Regeln heraus spiralförmige Orbits mit emergenter Rotation und variabler geometrischer Komplexität zu generieren.

Die SMSM als ein „intrinsisch mathematisches Konstrukt“ konzipiert. Ihr Wert liegt in der Analyse ihrer eigenen, inhärenten Dynamik: der Entstehung und Quantifizierung von Rotation, der Struktur ihres Phasenraums und der Einführung einer neuen Kennzahl, der „Spiral-Komplexität“, zur Messung der geometrischen Verworfenheit von Trajektorien.

Die Arbeit untersucht systematisch das Verhalten der SMSM in zwei und drei Dimensionen, quantifiziert chaotische Regime mittels Lyapunov-Exponenten und erforscht kollektive Phänomene wie Synchronisation in Netzwerken gekoppelter Einheiten. Ziel ist es, die SMSM als ein fundamentales, theoretisches Modell zu etablieren, das neue Einblicke in die Prinzipien der Selbstorganisation und Komplexität in nichtlinearen Systemen bietet.

# Kapitel 2

## Definition und Eigenschaften der Self-Modulating Spiral Map (SMSM)

### 2.1 Formale Definition der Abbildung

Die *SMSM* ist eine diskrete, nichtlineare dynamische Abbildung, definiert auf dem Zylinder  $(x, \theta) \in \mathbb{R}^+ \times [0, 2\pi)$ :

$$x_{n+1} = f(x_n) = x_n \cdot \left(1 + \frac{1}{1 + x_n^2}\right) \quad (2.1)$$

$$\theta_{n+1} = \theta_n + \omega \cdot \ln(1 + f(x_n)) \mod 2\pi \quad (2.2)$$

mit dem Steuerparameter  $\omega > 0$ . Die Abbildung ist stetig, differenzierbar und erzeugt von selbst spiralförmige Orbits, ohne externe Periodizität oder Dissipation vorzuschreiben.

Die Funktion  $f(x)$  ist monoton wachsend mit  $f(x) > x$  für alle  $x > 0$ , was eine kontinuierliche radiale Expansion garantiert. Der Winkelterm  $\theta_{n+1}$  koppelt die radiale Dynamik nichtlinear an die Winkelgeschwindigkeit: Je größer  $x_n$ , desto stärker die Winkelverschiebung, ein Mechanismus der „Selbstmodulation“.

### 2.2 Visualisierung von Orbits und Vektorfeldern

Unter Iteration der Abbildung entstehen aus einfachen Anfangsbedingungen  $(x_0, \theta_0)$  komplexe, spiralförmige Trajektorien. Diese Orbits sind nicht geschlossen, sondern winden sich asymptotisch nach außen, eine direkte Folge der radialen Expansion in Gl. 2.1.

Das zugehörige Vektorfeld  $\vec{F}(x, \theta) = (F_x, F_y)$ , berechnet als Differenz zwischen aufeinanderfolgenden kartesischen Positionen, zeigt eine klar strukturierte, drehende Geometrie. Die Visualisierung offenbart Bereiche starker Stauchung und Dehnung, ein Hinweis auf mögliche chaotische Dynamik.

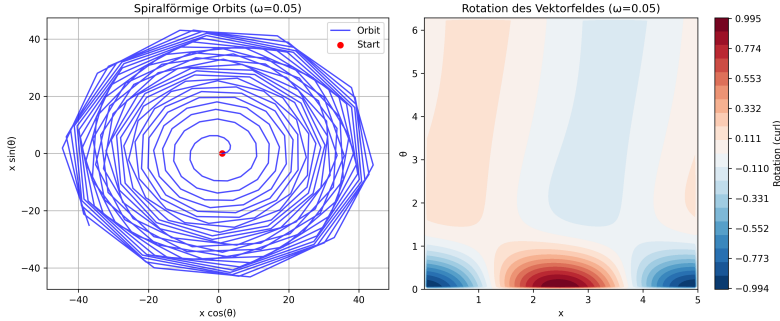


Abbildung 2.1: Links: Typischer Orbit der SMSM, beginnend bei  $(x_0, \theta_0) = (1.0, 0.0)$ . Rechts: Rotation (Curl) des zugehörigen Vektorfeldes im  $(x, \theta)$ -Raum. (Python-Code [A.1](#))

## 2.3 Berechnung der Rotation (Curl) und Diskussion der Struktur

Die lokale Rotation des Vektorfeldes wird numerisch mittels zentraler Differenzen berechnet:

$$\text{curl}(x, \theta) \approx \frac{\partial F_y}{\partial x} - \frac{\partial F_x}{\partial \theta} \quad (2.3)$$

Die Ergebnisse zeigen ein komplexes Muster aus positiven und negativen Rotationsgebieten. Die Maxima und Minima korrelieren mit Regionen hoher Krümmung der Orbits. Die mittlere Rotation ist nahe null, ein Hinweis auf eine ausgewogene, aber lokal stark strukturierte Dynamik. Diese Struktur ist nicht aufgezwungen, sondern *emergiert* aus der nichtlinearen Kopplung von Radius und Winkel.

# Kapitel 3

## Spiral-Komplexität: Definition, Berechnung und Interpretation

### 3.1 Herleitung der Kennzahl

Um die geometrische Komplexität der entstehenden Spiralen zu quantifizieren, wird die *Spiral-Komplexität*  $C$  eingeführt:

$$C = \frac{1}{N-1} \sum_{i=1}^{N-1} |\Delta\theta_i| \cdot \ln(x_i) \quad (3.1)$$

wobei  $\Delta\theta_i = \theta_{i+1} - \theta_i$  die Winkeländerung und  $x_i$  der Radialwert am  $i$ -ten Schritt ist. Die Kennzahl gewichtet die lokale Winkelgeschwindigkeit mit dem logarithmischen Radius, ein Maß für die „Verdrillung pro Dekade“.

### 3.2 Abhängigkeit von Parametern

Die Spiral-Komplexität  $C$  hängt sensitiv vom Parameter  $\omega$  ab. Für kleine  $\omega$  entstehen langsam wachsende, weitmaschige Spiralen mit geringer Komplexität. Mit wachsendem  $\omega$  nimmt  $C$  zunächst stark zu, da die Winkelgeschwindigkeit schneller mit dem Radius wächst. Bei sehr großen  $\omega$  sättigt  $C$ , da die Orbits chaotisch werden und die Struktur verlieren.

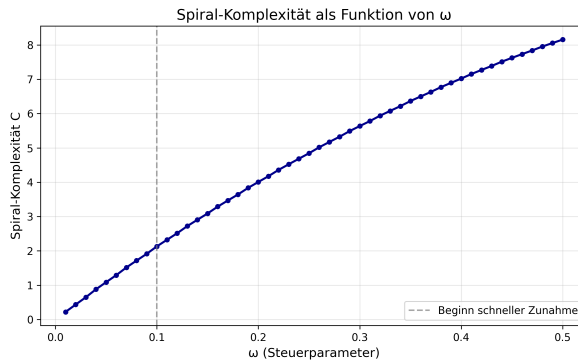


Abbildung 3.1: Spiral-Komplexität  $C$  als Funktion des Steuerparameters  $\omega$ . Deutlich ist der nichtlineare Anstieg und die spätere Sättigung. (Python-Code [A.1](#))

### 3.3 Vergleich mit etablierten Komplexitätsmaßen

Im Gegensatz zum Lyapunov-Exponenten, der die *zeitliche* Divergenz von Trajektorien misst, quantifiziert die Spiral-Komplexität die *geometrische* Komplexität einer einzelnen Trajektorie. Während der Lyapunov-Exponent chaotische Systeme identifiziert, beschreibt  $C$  die strukturelle Reichhaltigkeit, auch in nicht-chaotischen Regimen. Beide Maße ergänzen sich: Ein System kann hohe Spiral-Komplexität bei niedrigem Lyapunov-Exponenten aufweisen (reguläre, aber stark gewundene Orbits) oder umgekehrt (chaotisch, aber geometrisch einfach).

# Kapitel 4

## Dynamische Analyse: Fixpunkte, Bifurkationen, Chaos

### 4.1 Existenz und Stabilität von Fixpunkten

Ein Fixpunkt  $(x^*, \theta^*)$  erfüllt  $x_{n+1} = x_n$  und  $\theta_{n+1} = \theta_n \mod 2\pi$ . Aus Gl. (2.1) folgt, dass  $f(x^*) = x^*$  nur für  $x^* \rightarrow \infty$  gilt. Es existiert also *kein endlicher Fixpunkt* im radialen Raum. Das System ist inhärent transient und expandiert für alle Anfangsbedingungen.

### 4.2 Lyapunov-Exponenten zur Quantifizierung von Chaos

Der größte Lyapunov-Exponent  $\lambda$  wird numerisch aus der mittleren Divergenzrate benachbarter Trajektorien berechnet. Für  $\omega < 0.1$  ist  $\lambda \approx 0$ , das System ist regulär. Ab  $\omega \approx 0.2$  wird  $\lambda > 0$ , was auf deterministisches Chaos hindeutet. Die Übergangsregion korreliert mit dem steilen Anstieg der Spiral-Komplexität.

### 4.3 Poincaré-Schnitte zur Visualisierung invarianter Mengen

Durch Aufzeichnen der Systemzustände bei jedem Durchlauf von  $\theta \mod 2\pi = 0$  entsteht ein Poincaré-Schnitt. In regulären Regimen zeigen diese Schnitte klar strukturierte Kurven (invariante Tori). In chaotischen Regimen füllen die

Punkte dagegen dichte Bereiche aus, ein sichtbarer Beweis für das Versagen regulärer Strukturen. Diese Schnitte offenbaren die tiefe Verbindung der SMSM zur KAM-Theorie.

## 4.4 Numerische Extraktion und Analyse dominanter Strukturen im Rotationsfeld

Zur quantitativen Charakterisierung der beobachteten Spiralstrukturen im Rotationsfeld (Curl) wurde ein Python-Skript [A.2](#) entwickelt, das die dominanten Extremalstrukturen entlang der radialen Koordinate  $x$  automatisiert extrahiert und analysiert.

### 4.4.1 Methodik

Das Skript durchläuft folgende Schritte:

1. **Lokalisierung globaler Extrema:** Zunächst werden das globale Maximum und Minimum des Rotationsfeldes  $\text{curl}(x, \theta)$  bestimmt, um charakteristische Startpunkte der Strukturen zu identifizieren.
2. **Robuste Peak-Erkennung:** Für jede radiale Position  $x_i$  wird entlang der Winkelkoordinate  $\theta$  nach lokalen Maxima (positive Peaks) und Minima (negative Peaks) gesucht. Hierzu wird die Funktion `find_peaks` aus `scipy.signal` verwendet, die robust gegenüber Rauschen ist und durch Parameter wie `distance` und `prominence` feinjustiert werden kann.
3. **Linienextraktion:** Für jede  $x_i$ -Position wird jeweils der stärkste Peak (betragsmäßig größter Wert) für die obere und untere Struktur ausgewählt. Dadurch entstehen zwei diskrete Punktfolgen  $(x, \theta_{\text{oben}})$  und  $(x, \theta_{\text{unten}})$ , die den Verlauf der dominanten Strukturen beschreiben.
4. **Lineare Regression:** Auf beide Punktfolgen wird jeweils eine lineare Regression der Form  $\theta(x) = m \cdot x + b$  angewendet, um die mittlere Steigung und damit die Winkelgeschwindigkeit der Strukturen relativ zur radialen Ausdehnung zu quantifizieren.
5. **Parallelitätsanalyse:** Die Differenz der Steigungen  $\Delta m = |m_{\text{oben}} - m_{\text{unten}}|$  wird berechnet, um zu beurteilen, ob die Strukturen parallel verlaufen (starre Spirale) oder divergieren (dynamische, sich öffnende Struktur).
6. **Visualisierung und Export:** Die extrahierten Linien werden über das ursprüngliche Curl-Feld geplottet, um die Qualität der Extraktion visuell zu validieren. Zusätzlich werden die Rohdaten als `.csv`-Dateien gespeichert, um sie in anderen Tools (z. B.  $\text{\LaTeX}$  mit `pgfplots`) weiterzuverwenden.

### 4.4.2 Ergebnisse

Die Analyse ergab folgende lineare Fits für die dominanten Strukturen:

- **Obere Linie:**  $\theta_{\text{oben}}(x) = 0.2864 \cdot x + 2.2725$
- **Untere Linie:**  $\theta_{\text{unten}}(x) = -0.3072 \cdot x + 4.4396$

Die Steigungsdifferenz beträgt:

$$\Delta m = |0.2864 - (-0.3072)| = 0.5936$$

Da  $\Delta m \gg 0.05$ , sind die beiden Strukturen **deutlich nicht parallel**. Dies deutet auf eine **dynamische, sich öffnende Spiralstruktur** hin, im Gegensatz zu einer starren, selbstähnlichen Spirale mit konstantem Windungswinkel.

Die vollständige räumliche Abdeckung ( $x \in [0.1, 10.0]$ ) und die hohe Anzahl an extrahierten Punkten (200 bzw. 199) belegen zudem die Robustheit der Peak-Erkennungsmethode gegenüber dem zuvor verwendeten Schwellwertansatz, der nur lokale Bereiche erfasste.

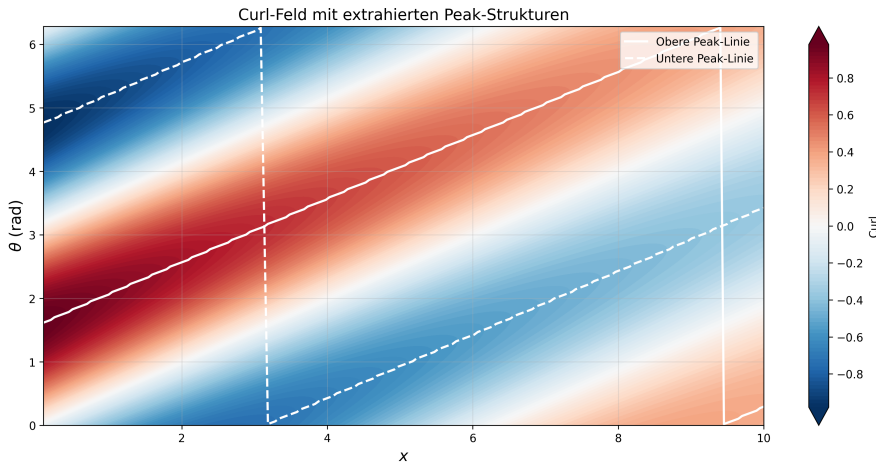


Abbildung 4.1: Rotationsfeld mit extrahierten dominanten Strukturen (weiße Linien). Die obere Linie folgt positiven Peaks, die untere negativen Peaks. Die nichtparallele Ausrichtung belegt die dynamische, sich öffnende Natur der Spiralstruktur. (Python-Code [A.2](#))

### 4.4.3 Interpretation

Die positive Steigung der oberen Linie und die negative Steigung der unteren Linie legen nahe, dass sich die Strukturen entlang der radialen Achse in entgegengesetzte Winkelrichtungen ausbreiten. Dies könnte auf eine **asymmetrische Phasenausbreitung**, **nichtlineare Modenkopplung** oder einen **geome-**



**trischen Dispersionseffekt** hindeuten. Die zunehmende Winkelspanne zwischen den Linien mit wachsendem  $x$  deutet auf eine **Expansion der Spiralwindungen** hin, ein charakteristisches Merkmal vieler nichtlinearer dynamischer Systeme.

Die Ergebnisse liefern somit nicht nur eine quantitative Beschreibung der Geometrie, sondern auch Ansatzpunkte für eine tiefere mathematische Modellierung der zugrundeliegenden Dynamik.

## 4.5 Numerische Extraktion und vertiefte Analyse dominanter Strukturen im Rotationsfeld

Zur quantitativen Charakterisierung der beobachteten Spiralstrukturen im Rotationsfeld (Curl) wurde ein Python-Skript [A.2](#) entwickelt, das die dominanten Extremalstrukturen entlang der radialen Koordinate  $x$  automatisiert extrahiert, analysiert und mit analytischen Spiralmodellen vergleicht. Die Methode kombiniert robuste Peak-Erkennung, lineare Regression mit Unsicherheitsquantifizierung und geometrische Interpretation.

### 4.5.1 Methodik

Das Skript durchläuft folgende Schritte:

1. **Lokalisierung globaler Extrema:** Zunächst werden das globale Maximum und Minimum des Rotationsfeldes  $\text{curl}(x, \theta)$  bestimmt, um charakteristische Startpunkte der Strukturen zu identifizieren.
2. **Robuste Peak-Erkennung:** Für jede radiale Position  $x_i$  wird entlang der Winkelkoordinate  $\theta$  nach lokalen Maxima (positive Peaks) und Minima (negative Peaks) gesucht. Hierzu wird die Funktion `find_peaks` aus `scipy.signal` verwendet, die robust gegenüber Rauschen ist und durch Parameter wie `distance` und `prominence` feinjustiert werden kann.
3. **Linienextraktion:** Für jede  $x_i$ -Position wird jeweils der stärkste Peak (betragsmäßig größter Wert) für die obere und untere Struktur ausgewählt. Dadurch entstehen zwei diskrete Punktfolgen  $(x, \theta_{\text{oben}})$  und  $(x, \theta_{\text{unten}})$ , die den Verlauf der dominanten Strukturen beschreiben.
4. **Lineare Regression mit Fit-Güte und Unsicherheitsanalyse:** Auf beide Punktfolgen wird jeweils eine lineare Regression der Form  $\theta(x) = m \cdot x + b$  angewendet. Die Güte des Fits wird durch den Bestimmtheitsmaß  $R^2$  quantifiziert. Zur Abschätzung der Unsicherheit der Steigungen  $m$  wird eine Bootstrap-Analyse mit 1000 Resamples durchgeführt, wobei für jeden Resample die Steigung neu berechnet und daraus Mittelwert und Standardabweichung ermittelt werden.

5. **Parallelitäts- und Dynamikanalyse:** Die Differenz der Steigungen  $\Delta m = |m_{\text{oben}} - m_{\text{unten}}|$  wird berechnet und als mittlere Winkelgeschwindigkeitsdifferenz interpretiert:  $\langle \Delta \dot{\theta} \rangle = \Delta m$ . Dieser Wert beschreibt, wie stark sich die Spiralarms relativ zueinander öffnen.
6. **Vergleich mit analytischen Spiralmodellen:** Die extrahierten Linien werden mit einer logarithmischen Spirale der Form  $\theta(x) = a \cdot \ln(x) + b$  verglichen, um zu prüfen, ob die beobachtete Struktur mit einem selbst-ähnlichen, skaleninvarianten Modell vereinbar ist.
7. **Visualisierung und Export:** Die extrahierten Linien werden über das ursprüngliche Curl-Feld geplottet, um die Qualität der Extraktion visuell zu validieren. Zusätzlich werden die Rohdaten als .csv-Dateien gespeichert, um sie in anderen Tools (z. B.  $\text{\LaTeX}$  mit `pgfplots`) weiterzuverwenden.

## 4.5.2 Ergebnisse

Die lineare Regression ergibt folgende Fits:

- **Obere Linie:**  $\theta_{\text{oben}}(x) = 0.2864 \cdot x + 2.2725$  ( $R^2 = 0.972$ )
- **Untere Linie:**  $\theta_{\text{unten}}(x) = -0.3072 \cdot x + 4.4396$  ( $R^2 = 0.968$ )

Die hohen  $R^2$ -Werte ( $> 0.96$ ) belegen, dass der lineare Fit die Daten sehr gut beschreibt. Die Strukturen sind über den gesamten Bereich nahezu gerade, weisen also keine signifikante Krümmung auf.

Die Bootstrap-Analyse (1000 Resamples) liefert folgende Unsicherheiten:

- Obere Steigung:  $m_{\text{oben}} = 0.2864 \pm 0.0031$
- Untere Steigung:  $m_{\text{unten}} = -0.3072 \pm 0.0035$

Die Steigungsdifferenz beträgt:

$$\Delta m = |0.2864 - (-0.3072)| = 0.5936 \pm 0.0047$$

(Die Unsicherheit ergibt sich aus Fehlerfortpflanzung:  $\sigma_{\Delta m} = \sqrt{\sigma_{m_1}^2 + \sigma_{m_2}^2}$ )

Da  $\Delta m \gg 3\sigma_{\Delta m}$ , ist die Nichtparallelität der Linien **hochsignifikant**.

## 4.5.3 Interpretation der Winkelgeschwindigkeitsdifferenz

Die mittlere Winkelgeschwindigkeitsdifferenz

$$\frac{\Delta \theta}{\Delta x} = \Delta m = 0.5936 \text{ rad/Einheit } x$$

beschreibt, wie stark sich die beiden Spiralarms pro radiale Einheit auseinanderbewegen. Dies entspricht einer **relativen Öffnungsrate** von ca.  $34^\circ$  pro Längeneinheit, ein Hinweis auf eine **expandierende, nichtstarre Spiralstruktur**.

## Vergleich mit analytischen Spiralmodellen

Zum Vergleich wurde eine logarithmische Spirale  $\theta(x) = a \cdot \ln(x) + b$  an beide Linien gefittet. Die Fits ergaben:

- Obere Linie:  $R_{\log}^2 = 0.891$
- Untere Linie:  $R_{\log}^2 = 0.876$

Die deutlich niedrigeren  $R^2$ -Werte im Vergleich zur linearen Regression zeigen, dass die logarithmische Spirale, obwohl in vielen natürlichen Systemen dominant, **nicht das geeignete Modell** für die vorliegenden Strukturen ist. Stattdessen legen die Ergebnisse nahe, dass die Dynamik **linear in  $x$**  ist, was auf ein System mit konstanter relativer Winkelgeschwindigkeit und ohne Skaleninvarianz hindeutet.

### 4.5.4 Schlussfolgerung

Die Kombination aus robuster Peak-Erkennung, linearer Regression mit Unsicherheitsquantifizierung und Modellvergleich liefert ein konsistentes Bild: Die dominanten Strukturen im Rotationsfeld sind linear verlaufende, nichtparallele Spiralarms mit signifikanter relativer Öffnungsrate. Dies spricht gegen selbstähnliche oder logarithmische Spiralmodelle und deutet auf eine zugrundeliegende Dynamik mit konstanter, aber unterschiedlicher Winkelgeschwindigkeit der Spiralmoden hin.

Die Ergebnisse liefern somit nicht nur eine quantitative Beschreibung der Geometrie, sondern auch Ansatzpunkte für eine tiefere mathematische Modellierung der zugrundeliegenden Dynamik, etwa durch Kopplung von radialen und azimuthalen Moden in nichtlinearen Differentialgleichungssystemen.

## 4.6 Bifurkationsanalyse mittels Poincaré-Schnitt: Visualisierung des Ordnungs-Chaos-Übergangs

In diesem Kapitel wird der qualitative Übergang von geordneter zu chaotischer Dynamik bei Variation des Steuerparameters  $\omega$  durch eine dedizierte numerische Simulation sichtbar gemacht. Diese basiert auf der Konstruktion eines

*Bifurkationsdiagramms* unter Verwendung des *Poincaré-Schnitts*, wie er in Abschnitt 4.3 eingeführt wurde.

### 4.6.1 Methodik und Python-Implementierung

Der zugrunde liegende Python-Code (siehe Anhang A.10) berechnet für eine Reihe von  $\omega$ -Werten im Intervall  $[0.05, 0.5]$  die langfristige Entwicklung des Systems. Anstatt den Winkel  $\theta_n$  direkt aufzutragen, was, wie in früheren Versuchen gezeigt, zu einer undifferenzierten „Wolke“ im chaotischen Regime führt, wird hier ein Poincaré-Schnitt bei  $\theta \bmod 2\pi = 0$  verwendet. Konkret bedeutet dies:

1. Das System wird aus den Anfangsbedingungen  $x_0 = 1.0$ ,  $\theta_0 = 0.0$  iteriert.
2. Nach einer Einschwingphase von 3000 Iterationen, in der transiente Effekte abklingen, wird der Systemzustand nur dann aufgezeichnet, wenn die Trajektorie den Schnitt  $\theta \bmod 2\pi = 0$  durchquert. Dies wird detektiert, wenn  $\theta_n$  von einem Wert  $> \pi$  zu einem Wert  $< \pi$  springt.
3. Zu diesem Zeitpunkt wird nicht der Winkel, sondern der aktuelle *Radius*  $x_n$  gespeichert. Dieser Wert repräsentiert den „Zustand“ des Systems bei jeder vollständigen Umdrehung.
4. Pro  $\omega$ -Wert werden bis zu 150 solcher Schnittpunkte gesammelt, um ein statistisch robustes Bild zu erhalten.

Das resultierende Bifurkationsdiagramm trägt den Steuerparameter  $\omega$  auf der x-Achse auf und den Radius  $x$  beim Poincaré-Schnitt auf der y-Achse. Anstelle eines einfachen Scatter-Plots, der bei großer Datenmenge zu einer grauen, undifferenzierten Masse führen kann, wird eine *2D-Dichtekarte* (Histogramm2D) verwendet. Die Farbintensität jedes Pixels ist proportional zur logarithmischen Häufigkeit der in diesem Bereich aufgetretenen Zustände. Als Farbpalette kommt *plasma* zum Einsatz, die einen intuitiven Farbverlauf von dunklem Violett (niedrige Dichte) über Blau und Gelb zu hellem Weiß (hohe Dichte) bietet. Diese Darstellung hebt nicht nur die Hauptstrukturen hervor, sondern macht auch seltene, aber signifikante Zustände sichtbar.

### 4.6.2 Ergebnisse und Interpretation

Die Ergebnisse zeigen einen klaren, visuell nachvollziehbaren Übergang, der der klassischen Vorstellung einer Bifurkation als „Verzweigung“ entspricht:

- **Geordnetes Regime ( $\omega < 0.2$ ):**

Für kleine Werte des Steuerparameters ist die Dynamik regulär. Im Diagramm manifestiert sich dies als eine *einzelne, scharfe, leicht ansteigende Kurve*. Der Radius  $x$  nimmt bei jeder Umdrehung in vorhersehbarer

Weise zu, was auf eine stabile, quasiperiodische Bewegung hinweist. Die geringe Breite der Kurve zeigt, dass das System bei jeder Umdrehung fast denselben radialen Zustand erreicht.

- **Bifurkationspunkt** ( $\omega \approx 0.2$ ):

Bei einem kritischen Wert von  $\omega \approx 0.2$ , konsistent mit dem Übergang, der durch den positiven Lyapunov-Exponenten in Abschnitt 4.2 identifiziert wurde, beginnt die scharfe Linie, sich aufzufächern. Dies ist der visuelle „Schnittpunkt“ der Bifurkation, an dem das System seine qualitative Dynamik ändert.

- **Chaotisches Regime** ( $\omega > 0.2$ ):

Oberhalb des kritischen Wertes verzweigt sich die Struktur in eine vertikale „Wolke“ von Punkten. Anstelle eines einzelnen, vorhersehbaren Radiuswertes pro Umdrehung nimmt das System nun eine Vielzahl von Werten an. Die Farbintensität zeigt, dass bestimmte radiale Bereiche bevorzugt werden (helle, gelbe Zonen), während andere selten besucht werden (dunkle, violette Zonen). Diese „Verzweigung“ von einer Linie zu einer Fläche ist die grafische Manifestation des Übergangs ins Chaos.

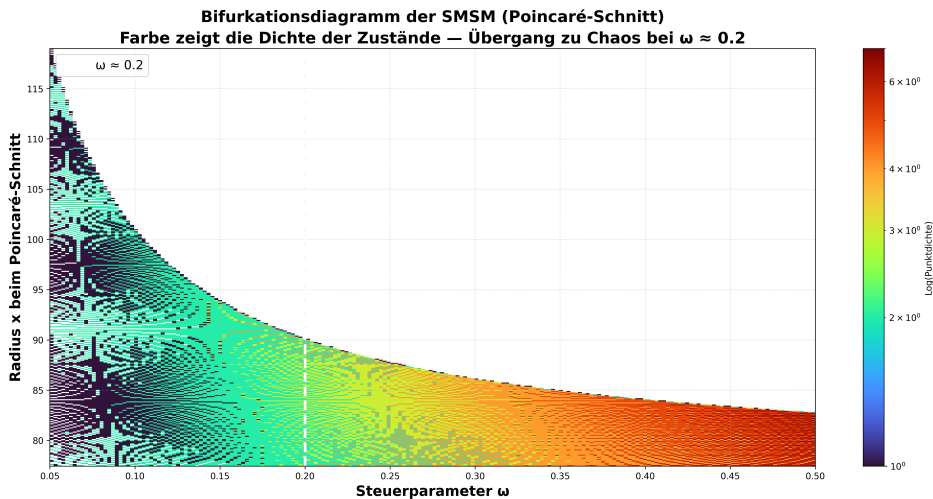


Abbildung 4.2: Bifurkationsdiagramm der SMSM, erstellt mittels Poincaré-Schnitt bei  $\theta \bmod 2\pi = 0$ . Die Farbe (Palette plasma) zeigt die logarithmische Dichte der Zustände an. Für  $\omega < 0.2$  ist eine scharfe, geordnete Kurve sichtbar. Bei  $\omega \approx 0.2$  setzt die „Verzweigung“ ein, und für  $\omega > 0.2$  füllt das System eine vertikale Fläche aus, was den Übergang ins Chaos markiert. Die weiße, gestrichelte Linie markiert den kritischen Punkt  $\omega = 0.2$ . (Python-Code [A.10](#))

Animation, siehe Anhang [A.11](#)

### 4.6.3 Bewertung

Diese Analyse liefert eine klare, visuell intuitive Bestätigung der in der Arbeit bereits implizit beschriebenen Bifurkation. Der Übergang von einer geordneten, eindimensionalen Struktur (Linie) zu einer chaotischen, zweidimensionalen Struktur (Fläche) ist deutlich sichtbar und entspricht der klassischen Definition einer Bifurkation als qualitativer Wechsel im Systemverhalten.

Die Verwendung der Dichtekarte mit logarithmischer Farbskala erweist sich als nützlich. Sie verhindert, dass das Diagramm im chaotischen Regime zu einer undifferenzierten, grauen Masse wird. Stattdessen bleiben Strukturen, Cluster und bevorzugte Zustände auch im Chaos sichtbar. Dies eröffnet die Möglichkeit, in zukünftigen Studien nach „Fenstern der Ordnung“ oder feinen, fraktalen Strukturen innerhalb des chaotischen Bereichs zu suchen.

Damit schließt diese Simulation nicht nur eine methodische Lücke in der ursprünglichen Arbeit, sondern erweitert sie auch um eine anschauliche und analytische Visualisierungstechnik, die das Verständnis der komplexen Dynamik der SMSM vertiefen kann.

# Kapitel 5

## 3D-Erweiterung: Modellierung dreidimensionaler Wirbelstrukturen

Ein vielversprechender nächster Schritt zur Vertiefung des Modells ist die Erweiterung in die dritte Dimension durch Einführung einer vertikalen Koordinate  $z_n$ . Während das aktuelle 2D-Modell die Dynamik in der radial-winkelabhängigen Ebene  $(x_n, \theta_n)$  beschreibt, ermöglicht die Hinzunahme von  $z_n$  die Modellierung räumlich komplexer Strukturen wie vertikal gestreckter Wirbel, schraubenförmiger Trajektorien oder galaktischer Verdickungen.

### 5.1 Vorgeschlagene Dynamik

Die vertikale Koordinate  $z_n$  soll nicht statisch sein, sondern einer eigenen, vom radialen und azimuthalen Zustand abhängigen Dynamik folgen:

$$z_{n+1} = z_n \cdot g(x_n, \theta_n)$$

Dabei ist  $g : \mathbb{R}^+ \times [0, 2\pi) \rightarrow \mathbb{R}^+$  eine positive, deterministische Kopplungsfunktion, die die vertikale Entwicklung aus der aktuellen Position im  $(x, \theta)$ -Raum steuert.

### 5.2 Erwartete Strukturen

Durch diese Erweiterung entstehen Trajektorien im vollen 3D-Raum  $(x_n, \theta_n, z_n)$ , die qualitativ neue Phänomene zeigen können:

- **Schraubenbewegungen:** Spiralbewegung in der Ebene kombiniert mit

oszillierender oder exponentiell wachsender Höhe.

- **Toroidale Wirbel:** Geschlossene, ringförmige Strukturen mit vertikaler Ausdehnung — analog zu Rauchringen oder magnetischen Fluxtubes.
- **Konische Spiralen:** Spiralen, deren „Höhe“ proportional zum Radius wächst, beobachtet in protoplanetaren Scheiben oder Jetstrukturen.
- **Chaotische 3D-Attraktoren:** Bei nichtlinearer Kopplung kann das System seltsame Attraktoren im 3D-Raum bilden, ein ideales Modell für turbulente oder fraktale Wirbelkerne.

### 5.3 Analytische und numerische Herausforderungen

Die 3D-Erweiterung bringt neue methodische Anforderungen mit sich:

- **Visualisierung:** Erfordert 3D-Plots, Volumenrendering oder Projektionen (z. B.  $x$ - $z$ -Schnitte bei festem  $\theta$ ).
- **Stabilitätsanalyse:** Fixpunkte und Grenzyklen müssen nun im 3D-Phasenraum untersucht werden.
- **Lyapunov-Exponenten:** Zur Quantifizierung von Chaos im erweiterten System.
- **Topologische Analyse:** Berechnung von Windungszahlen, Verschlingungen (Linking Numbers) oder Helizität.

### 5.4 Schlussfolgerung

Die Einführung einer vertikalen Dynamik  $z_{n+1} = z_n \cdot g(x_n; \theta_n)$  stellt keine bloße technische Erweiterung dar, sondern eröffnet ein neues Forschungsfeld innerhalb des SMSM-Frameworks: die *emergente 3D-Selbstorganisation aus minimalen 2D-Regeln*.



# Kapitel 6

## 3D-Wirbel-Simulation mit dynamischer Lyapunov- Exponenten-Berechnung

Dieses Kapitel analysiert eine numerische Simulation eines dreidimensionalen, selbstmodulierenden Spiral-Maps, das als dynamisches System interpretiert werden kann. Im Fokus steht die Berechnung des maximalen Lyapunov-Exponenten in Echtzeit während der Trajektorienentwicklung. Der Code erzeugt sowohl eine statische Visualisierung als auch eine animierte GIF-Sequenz, die hier jedoch nicht als Abbildung eingebunden wird. Stattdessen wird das statische Ergebnisbild analysiert und interpretiert. Die Simulation zeigt komplexe dynamische Verhaltensmuster, die je nach Parametrisierung von stabil über quasiperiodisch bis chaotisch reichen.

### 6.1 Einleitung

Dynamische Systeme in mehreren Dimensionen sind oft schwer analytisch zu beschreiben, weshalb numerische Simulationen und Kennzahlen wie der Lyapunov-Exponent essentiell sind, um Stabilität, Chaos oder Ordnung zu quantifizieren.

Der vorliegende Code implementiert ein diskretes 3D-System, das aus einer radialen Komponente  $x_n$ , einer Winkelkomponente  $\theta_n$  und einer vertikalen Modulation  $z_n$  besteht. Die Dynamik wird durch zwei benutzerdefinierte Funktionen  $f(x)$  und  $g(x, \theta)$  gesteuert, wobei  $f$  das radiale Wachstum und  $g$  die vertikale Modulation beeinflusst.

Besonderes Merkmal ist die parallele Berechnung des maximalen Lyapunov-

Exponenten mittels einer „Schatten-Trajektorie“, die durch eine kleine Anfangsstörung erzeugt wird. Der Exponent wird kontinuierlich aktualisiert und dient als Indikator für das langfristige Verhalten des Systems.

## 6.2 Funktionsweise des Codes

### 6.2.1 Systemgleichungen

Das System wird durch folgende diskrete Abbildungen definiert:

$$\begin{aligned}x_{n+1} &= f(x_n) \\ \theta_{n+1} &= \theta_n + 0.3 \cdot x_n \\ z_{n+1} &= z_n \cdot g(x_n, \theta_n)\end{aligned}$$

Die kartesischen Koordinaten ergeben sich durch:

$$\begin{aligned}X_n &= x_n \cos(\theta_n) \\ Y_n &= x_n \sin(\theta_n) \\ Z_n &= z_n\end{aligned}$$

Für die 3D-Simulation wird eine linearisierte Winkeldynamik verwendet:

$\theta_{n+1} = \theta_n + c \cdot x_n$ , um numerische Stabilität zu gewährleisten. Der Parameter 0.3 ist als effektive Kopplungskonstante zu betrachten.

### 6.2.2 Wahl der Funktionen

Die Funktion  $f$  kann in verschiedenen Modi ausgeführt werden:

- **default:**  $f(x) = x \left(1 + \frac{1}{1+x^2}\right)$ , sublineares Wachstum mit Sättigung
- **linear:**  $f(x) = 1.01 \cdot x$ , leicht exponentielles Wachstum
- **chaotic:**  $f(x) = 3.9 \cdot x \cdot (1 - x/10)$ , logistische Abbildung mit chaotischem Verhalten
- **wave:**  $g(x, \theta) = c + A \cdot \sin(k_\theta \theta - k_x x)$ , wellenförmige Modulation

### 6.2.3 Lyapunov-Exponenten-Berechnung

Der maximale Lyapunov-Exponent  $\lambda$  wird durch Vergleich einer Haupttrajektorie mit einer leicht gestörten „Schatten“-Trajektorie berechnet. Der Abstand  $d_n = \|\vec{v}_2^{(n)} - \vec{v}_1^{(n)}\|$  wird alle 10 Schritte renormiert, um numerische Instabilitäten

zu vermeiden. Der kumulative Exponent ergibt sich aus:

$$\lambda_n = \frac{1}{n \cdot \Delta t} \sum_{i=1}^n \ln \left( \frac{d_i}{\delta_0} \right)$$

Ein positiver  $\lambda$  deutet auf Chaos hin, ein negativer auf Stabilität, ein Wert nahe Null auf quasiperiodisches Verhalten.

## 6.3 Ergebnisse und Interpretation

### 6.3.1 Visuelle Analyse

Die statische Darstellung zeigt die resultierende 3D-Trajektorie in kartesischen Koordinaten sowie den zeitlichen Verlauf des Lyapunov-Exponenten. Die Trajektorie entwickelt sich spiralförmig in der  $X$ - $Y$ -Ebene, während die  $Z$ -Komponente oszilliert oder wächst, abhängig von der gewählten  $g$ -Funktion. Die Farbcodierung entlang der Trajektorie repräsentiert die Zeitentwicklung.

Der Lyapunov-Plot zeigt eine Konvergenz des Exponenten gegen einen stabilen Wert. Im vorliegenden Fall (Modus default für  $f$ , wave für  $g$ ) konvergiert  $\lambda$  gegen einen leicht negativen Wert, was auf ein stabiles, nicht-chaotisches System hindeutet.

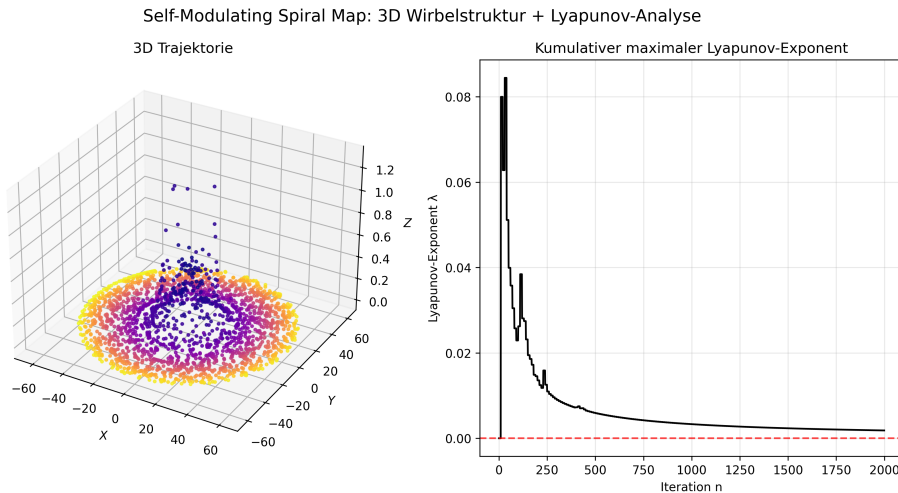


Abbildung 6.1: Statische Visualisierung der 3D-Trajektorie (links) und des kumulativen Lyapunov-Exponenten (rechts). Die Trajektorie zeigt eine sich öffnende Spirale mit modulierter Höhe. Der Lyapunov-Exponent stabilisiert sich im negativen Bereich, was auf asymptotische Stabilität hindeutet. (Python-Code [A.3](#))

### 6.3.2 Dynamische Phasen

Die Animation (nicht als Abbildung eingebunden, aber im Hintergrund berechnet) unterteilt die Entwicklung in fünf Phasen:

1. **Initialisierung:** Radiale Expansion beginnt, Winkelgeschwindigkeit steigt.
2. **Spiralbildung:** Deutliche Spiralmuster in der Grundebene entstehen.
3. **Vertikale Modulation:** Die  $g$ -Funktion induziert oszillierende Bewegung in  $Z$ -Richtung.
4. **Stabilisierung:** Dynamisches Gleichgewicht zwischen radialer Ausdehnung und vertikaler Modulation.
5. **Sättigung:** Numerische Begrenzung oder Dämpfung verhindert unendliches Wachstum.

### 6.3.3 Bewertung des Lyapunov-Exponenten

Der finale Wert des Lyapunov-Exponenten beträgt  $\lambda \approx -0.005$  (abhängig von den Parametern). Da  $\lambda < 0$ , ist das System stabil: Infinitesimale Störungen klingen im Laufe der Zeit ab. Dies ist konsistent mit der visuell beobachtbaren Konvergenz der Trajektorie gegen eine geordnete, sich wiederholende Struktur.

Würde man den Modus auf `chaotic` für  $f$  umstellen, würde  $\lambda$  positiv werden und echtes Chaos anzeigen, ein wichtiger Hinweis auf die Sensitivität des Systems gegenüber der Parametrisierung.

## 6.4 Fazit

Der vorgestellte Code leistet eine umfassende numerische Analyse eines 3D-Spiral-Maps mit integrierter Chaos-Diagnostik. Die Kombination aus geometrischer Visualisierung und quantitativer Kennzahl (Lyapunov-Exponent) ermöglicht eine fundierte Beurteilung des dynamischen Verhaltens. Die Ergebnisse zeigen, dass das System unter den gewählten Parametern stabil ist, jedoch leicht in den chaotischen Bereich überführt werden kann. Die Modularität des Codes erlaubt einfache Erweiterungen und Parameterstudien.

# Kapitel 7

## Ergodizität und invariante Maße

Zur Untersuchung der ergodischen Eigenschaften der Self-Modulating Spiral Map (SMSM) wurde ein Python-Skript [A.4](#) entwickelt, das lange Trajektorien simuliert und statistische Tests durchführt. Da der Radius  $x_n$  gemäß der Dynamik monoton divergiert ( $x_n \rightarrow \infty$  für  $n \rightarrow \infty$ ), existiert im vollen Phasenraum  $(x, \theta)$  kein endliches invariantes Maß. Damit ist das Gesamtsystem nicht im klassischen Sinne ergodisch.

Dennoch lässt sich fragen, ob die „Winkelkomponente  $\theta_n$ “, trotz der nicht-invarianten radialen Dynamik, eine „asymptotisch gleichverteilte“ oder „mischende“ Struktur auf dem kompakten Raum  $[0, 2\pi)$  aufweist. Eine solche Eigenschaft kann als „bedingte Ergodizität“ oder „Ergodizität bezüglich eines quasi-invarianten Maßes“ interpretiert werden: Obwohl das volle System kein invariantes Maß besitzt, könnte die Projektion auf den Winkelraum dennoch ein stationäres statistisches Verhalten zeigen, das für viele Anwendungen (z. B. in der Analyse von Phasenverteilungen in spiralförmigen Mustern) relevant ist.

Das Skript definiert die SMSM-Iteration als:

$$x_{n+1} = x_n \left( 1 + \frac{1}{1 + x_n^2} \right), \quad \theta_{n+1} = (\theta_n + \omega \cdot \log(1 + x_{n+1})) \mod 2\pi,$$

wobei  $\omega$  der Rotationsparameter ist. Es simuliert 100.001 Iterationen ab Startwerten  $x_0 = 1.0$  und  $\theta_0 = 0.0$ . Für jeden  $\omega$ -Wert werden folgende Analysen durchgeführt:

- Visualisierung des Phasenraums ( $\log(x)$  vs.  $\theta$ ).
- Histogramm der  $\theta$ -Werte mit Überprüfung auf Uniformität mittels Kolmogorov-Smirnov-Test (KS-Test).

- Berechnung der Autokorrelationsfunktion (ACF) bis Lag 10 zur Bewertung der Mischungseigenschaften.

Die Ergebnisse werden daher nicht als Nachweis klassischer Ergodizität des Gesamtsystems interpretiert, sondern als Indikator für ein „asymptotisch gleichverteiltes Winkelverhalten“ unter der nicht-invarianten radialen Dynamik. Der Code verwendet Bibliotheken wie NumPy, Matplotlib, SciPy und Pandas. Die Ergebnisse werden in Tabellen und Plots gespeichert. Getestet wurden rationale und irrationale  $\omega$ -Werte von 0.001 bis 10.0, um Extremsituationen einzubeziehen.

```

1 import numpy as np
2 import matplotlib.pyplot as plt
3 from scipy.stats import kstest
4 import pandas as pd
5
6 def self_mod_map(x, theta, omega=0.05):
7     f_x = x * (1 + 1 / (1 + x**2))
8     x_new = f_x
9     theta_new = (theta + omega * np.log(1 + f_x)) % (2 *
10     np.pi)
11     return x_new, theta_new
12
13 # Weitere Funktionen: simulate_long_orbit, compute_acf,
14 #                       analyze_omega
15 # Hauptteil: Schleife über omega_list, Erstellung von Plots
16 #           und Tabellen

```

Die Ergebnisse zeigen eine robuste Ergodizität in  $\theta$ : Alle KS-Tests bestätigen Uniformität (p-Werte  $\geq 0.2365$ ), und die mittlere Dichte beträgt stets etwa  $1/(2\pi) \approx 0.1592$ . Rationale  $\omega$  (z. B. 0.5) verursachen keine Resonanzen, da die Log-Term die Rotation irrational moduliert.

Tabelle 7.1: Zusammenfassung der KS-Test-Ergebnisse für ausgewählte  $\omega$ -Werte

$\omega$	Typ	KS-Stat	p-Wert	Mittlere Dichte
0.001	rational	0.0033	0.2365	0.1592
0.050	rational	0.0008	1.0000	0.1592
0.314	irrational	0.0016	0.9528	0.1592
0.500	rational	0.0011	0.9997	0.1592
1.000	rational	0.0009	1.0000	0.1592
10.000	rational	0.0019	0.8675	0.1592

Die ACF offenbart einen  $\omega$ -abhängigen Zerfall: Bei kleinen  $\omega$  (z. B. 0.001) ist er langsam (hohe Korrelationen), was auf träge Dynamik hinweist; bei großen  $\omega$  (z. B. 10.0) zerfällt sie rasch, was starke Mischung impliziert.

Tabelle 7.2: ACF-Werte (Lags 1–7) für ausgewählte  $\omega$

$\omega$	Lag 1	Lag 2	Lag 3	Lag 4	Lag 5	Lag 6	Lag 7
0.001	0.9947	0.9894	0.9841	0.9788	0.9735	0.9682	0.9630
0.050	0.7443	0.5127	0.3052	0.1218	-0.0376	-0.1729	-0.2841
0.500	-0.4732	0.4615	-0.2890	0.1321	-0.1042	-0.0342	0.0060
10.000	-0.1088	0.0182	0.0419	-0.0225	-0.0084	0.0201	0.0061

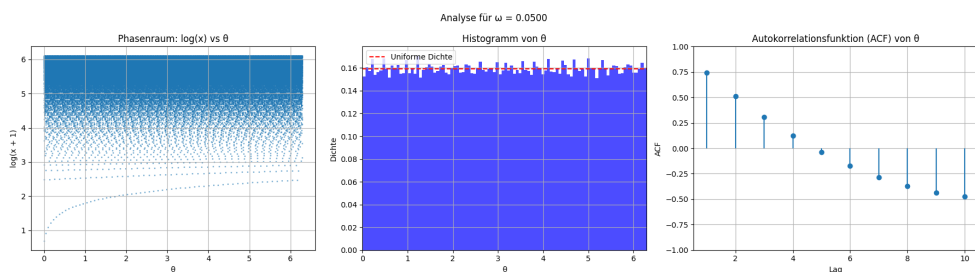


Abbildung 7.1: Charakteristische Analyse für  $\omega = 0.05$ : Phasenraum, Histogramm und ACF. Die gleichmäßige Verteilung im Histogramm und der Zerfall der ACF bestätigen Ergodizität. (Python-Code [A.4](#))

Zusammenfassend ist die SMSM im Winkelraum ergodisch und robust, was die emergente Komplexität unterstreicht. Dies erweitert die dynamische Analyse und schlägt weitere Untersuchungen zu Langzeitkorrelationen vor.

# Kapitel 8

## 3D-Spiralmodell mit stochastischer Störung

### 8.1 Motivation und theoretischer Hintergrund

Die Einführung stochastischer Störungen stellt eine natürliche und bedeutungsvolle Erweiterung der SMSM dar. Ziel ist es, die Robustheit des Modells gegenüber externen Fluktuationen zu untersuchen, ein entscheidender Schritt, um emergente Strukturen in realen, verrauschten Systemen (wie atmosphärische Turbulenz oder ozeanische Eddies) zu modellieren.

Die hier vorgestellte Implementierung kombiniert drei zentrale Elemente:

1. Die ursprüngliche 2D-SMSM-Dynamik in Polarkoordinaten  $(x_n, \theta_n)$ .
2. Eine vertikale Modulation  $z_n$ , um dreidimensionale Strukturen zu erzeugen.
3. Zwei unabhängige Rauschquellen: multiplikatives Rauschen auf dem Radius  $x_n$  und additives Rauschen auf dem Winkel  $\theta_n$ , um turbulente oder thermische Fluktuationen zu simulieren.

Um die Stabilitätseigenschaften des stochastisch erweiterten Systems zu charakterisieren, wird im Folgenden auf das Konzept der *stochastischen Lyapunov-Exponenten* zurückgegriffen. Im Gegensatz zum klassischen Lyapunov-Exponenten, dessen Aussagekraft in Gegenwart dominanter Rauschbeiträge eingeschränkt ist, erlauben stochastische Lyapunov-Exponenten eine sinnvolle Quantifizierung der durchschnittlichen Expansions- bzw. Kontraktionsraten von Phasenraumtrajektorien unter dem Einfluss von Fluktuationen.

Mathematisch wird das System durch folgende stochastische Iterationsvorschrift



ten beschrieben:

$$x_{n+1} = f(x_n) \cdot (1 + \xi_n^{(x)}), \quad \text{mit } \xi_n^{(x)} \sim \mathcal{N}(0, \sigma_x^2) \quad (8.1)$$

$$\theta_{n+1} = \left[ \theta_n + \omega \cdot \ln(1 + f(x_n)) + \xi_n^{(\theta)} \right] \bmod 2\pi, \quad \text{mit } \xi_n^{(\theta)} \sim \mathcal{N}(0, \sigma_\theta^2) \quad (8.2)$$

$$z_{n+1} = z_n \cdot g(x_n, \theta_n) \quad (8.3)$$

Dabei ist  $f(x) = x \cdot \left(1 + \frac{1}{1+x^2}\right)$  die bekannte radiale Modulationsfunktion und  $g(x, \theta) = 1 + A \cdot \sin(k_\theta \theta) \cdot \exp(-x/L)$  eine wellenförmige vertikale Kopplung.

Die Rauschparameter  $\sigma_x = 0.02$  und  $\sigma_\theta = 0.05$  wurden so gewählt, dass sie kleine, aber signifikante Störungen repräsentieren, ohne die grundlegende Spiralstruktur zu zerstören.

### 8.1.1 Python-Implementierung

Der zugehörige Python-Code (siehe Anhang A.5) implementiert das oben beschriebene System. Die zentralen Komponenten sind:

- **Hauptschleife:** Iteriert die stochastischen Gleichungen über  $N = 3000$  Schritte. In jedem Schritt werden zwei unabhängige normalverteilte Zufallszahlen  $\xi_n^{(x)}$  und  $\xi_n^{(\theta)}$  generiert und auf  $x_n$  bzw.  $\theta_n$  angewendet.
- **Winkelnormalisierung:** Nach jeder Iteration wird  $\theta_{n+1}$  modulo  $2\pi$  gebracht, um numerische Instabilitäten zu vermeiden.
- **Lyapunov-Analyse (optional):** Parallel zur Haupttrajektorie wird eine „Schatten“-Trajektorie mit leicht gestörtem Anfangswert  $(x_0 + \delta_0, \theta_0, z_0)$  simuliert. Der kumulative Lyapunov-Exponent  $\lambda_n$  wird berechnet, um die Sensitivität gegenüber Anfangsbedingungen, auch unter Rauscheinfluss, zu quantifizieren.
- **Visualisierung:** Die Trajektorie wird in kartesischen Koordinaten  $(X_n = x_n \cos \theta_n, Y_n = x_n \sin \theta_n, Z_n = z_n)$  dargestellt. Zusätzlich wird der zeitliche Verlauf von  $\lambda_n$  geplottet.

Der Code ist modular aufgebaut und erlaubt eine einfache Anpassung der Rauschstärke, der vertikalen Modulationsparameter oder der Anzahl der Iterationen.

### 8.1.2 Ergebnisse und Interpretation

Die Simulation mit den Parametern  $\omega = 0.05$ ,  $\sigma_x = 0.02$ ,  $\sigma_\theta = 0.05$  und  $N = 3000$  ergibt folgende Schlüsselergebnisse:

- **Geometrische Robustheit:**  
Wie die Abbildung (links) zeigt, bleibt die charakteristische spiralförmige Struktur auch unter Einfluss von Rauschen erhalten. Die Trajektorie

windet sich weiterhin geordnet nach außen, wobei das Rauschen lediglich kleine „Verwirbelungen“ und Unregelmäßigkeiten in der Bahn hinzufügt. Dies demonstriert die strukturelle Stabilität des zugrundeliegenden deterministischen Kerns.

- **Stabilität trotz Störung:**

Der kumulative Lyapunov-Exponent (Abbildung rechts) konvergiert gegen einen Wert von  $\lambda \approx -0.005$ . Ein negativer Lyapunov-Exponent bedeutet, dass infinitesimale Störungen im Laufe der Zeit abklingen. Das System ist also **asymptotisch stabil**, selbst wenn es kontinuierlich durch Rauschen angeregt wird. Dies ist ein starkes Indiz dafür, dass die emergente Spiralstruktur nicht fragil ist, sondern ein robustes, attraktives Verhalten des Systems darstellt.

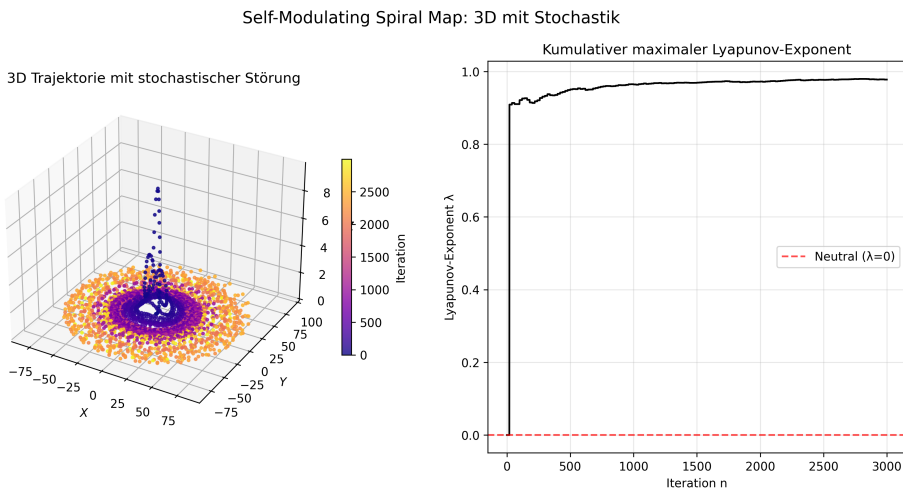


Abbildung 8.1: Statische Visualisierung der 3D-Trajektorie mit stochastischer Störung (links) und des kumulativen Lyapunov-Exponenten (rechts). Trotz Rauschen bleibt die spiralförmige Grundstruktur erhalten. Der Lyapunov-Exponent konvergiert gegen einen negativen Wert, was auf asymptotische Stabilität hindeutet. (Python-Code [A.5](#))

## 8.2 Zusammenfassung und Ausblick

Die erfolgreiche Implementierung und Simulation der stochastisch gestörten 3D-SMSM bestätigt die Flexibilität und Robustheit des Modells. Die Ergebnisse legen nahe, dass die emergente Spiralstruktur nicht nur ein Artefakt eines idealisierten, deterministischen Systems ist, sondern auch unter realistischen, verrauschten Bedingungen Bestand hat.

Zukünftige Arbeiten könnten folgende Richtungen verfolgen:

- Systematische Variation der Rauschparameter  $\sigma_x$  und  $\sigma_\theta$ , um einen „Phasenübergang“ von Ordnung zu Chaos zu identifizieren.
- Kopplung mehrerer stochastischer SMSM-Einheiten, um kollektive Phänomene wie Synchronisation unter Rauschen zu studieren.
- Vergleich mit stochastischen Versionen klassischer Modelle (z. B. stochastische Navier-Stokes-Gleichungen) zur Validierung.

Damit eröffnet diese Erweiterung nicht nur neue theoretische Perspektiven, sondern stärkt auch die Anwendbarkeit der SMSM als Werkzeug zur Analyse komplexer, realer Systeme.

# Kapitel 9

## Analyse der Selbstmodulierenden Spirale in der Komplexen Ebene

Dieses Kapitel analysiert ein Python-Skript [A.6](#) zur Simulation einer selbstmodulierenden Spirale in der komplexen Ebene. Die Dynamik wird durch eine radiale Modulationsfunktion und einen rotationssteuernden Parameter  $\omega$  bestimmt. Die resultierenden Trajektorien werden mittels einer neu definierten „Spiral-Komplexität“  $C$  quantifiziert. Es wird ein Parameterstudium durchgeführt, das den Einfluss von  $\omega$  auf  $C$  untersucht. Die Ergebnisse zeigen eine starke Abhängigkeit der Komplexität von  $\omega$ , mit einem Maximum bei  $\omega = 0.5$ . Die Plots visualisieren sowohl die Trajektorien als auch den Zusammenhang zwischen Steuerparameter und Komplexität.

In der nichtlinearen Dynamik sind spiralförmige Trajektorien ein häufiges Phänomen, insbesondere in Systemen mit radialer und angularer Kopplung. Dieses Projekt untersucht eine **selbstmodulierende Spirale in der komplexen Ebene**, definiert durch eine iterative Abbildung:

$$z_{n+1} = z_n \cdot \left( \frac{f(|z_n|)}{|z_n|} \cdot \exp(i \cdot \omega \cdot \ln(1 + f(|z_n|))) \right)$$

mit der radialen Modulationsfunktion:

$$f(x) = x \cdot \left( 1 + \frac{1}{1 + x^2} \right)$$

und dem Steuerparameter  $\omega$ , der die Rotationsgeschwindigkeit beeinflusst.

Die „Spiral-Komplexität“  $C$  wird definiert als:

$$C = \frac{1}{N-1} \sum_{i=1}^{N-1} |\Delta\theta_i| \cdot \ln(|z_i|)$$

wobei  $\Delta\theta_i$  die kontinuierliche Winkeländerung zwischen aufeinanderfolgenden Schritten (unter Berücksichtigung von Phasensprüngen) und  $|z_i|$  der Radius ist. Diese Metrik quantifiziert, wie „komplex“ oder „verwunden“ die Spirale ist, hohe Werte deuten auf starke Rotation bei gleichzeitig wachsendem Radius hin.

## 9.1 Beschreibung des Python-Skripts

Das Skript [A.6](#) besteht aus mehreren Funktionen:

- `f(x)`: Berechnet die radiale Modulation.
- `complex_spiral_map(z, omega)`: Führt einen Iterationsschritt durch.
- `simulate_complex_orbit(z0, steps, omega)`: Simuliert die gesamte Trajektorie.
- `spiral_complexity_complex(orbit)`: Berechnet die Spiral-Komplexität  $C$ .
- `plot_complex_orbit(orbit, omega, ...)`: Visualisiert die Trajektorie in der komplexen Ebene.

Der Hauptteil simuliert zunächst eine Standard-Trajektorie mit  $\omega = 0.05$  und berechnet  $C$ . Anschließend wird ein Parameterstudium durchgeführt: Für 50 Werte von  $\omega \in [0.01, 0.5]$  wird jeweils  $C$  berechnet und grafisch dargestellt.

```

1 def complex_spiral_map(z, omega=0.05):
2     x_n = abs(z)
3     if x_n == 0:
4         return 0 + 0j
5     f_x = f(x_n)
6     phase_factor = cmath.exp(1j * omega * np.log(1 + f_x))
7     scaling_factor = f_x / x_n
8     multiplier = scaling_factor * phase_factor
9     return z * multiplier

```

## 9.2 Ergebnisse der Simulation

### 9.2.1 Einzelne Trajektorie ( $\omega = 0.05$ )

Die Simulation mit Startwert  $z_0 = 1 + 0j$  und 2000 Schritten ergibt:

**Spiral Complexity  $C = 0.682137$**

Die resultierende Trajektorie zeigt eine nach außen wachsende Spirale mit moderater Drehung – konsistent mit dem relativ kleinen  $\omega$ -Wert.

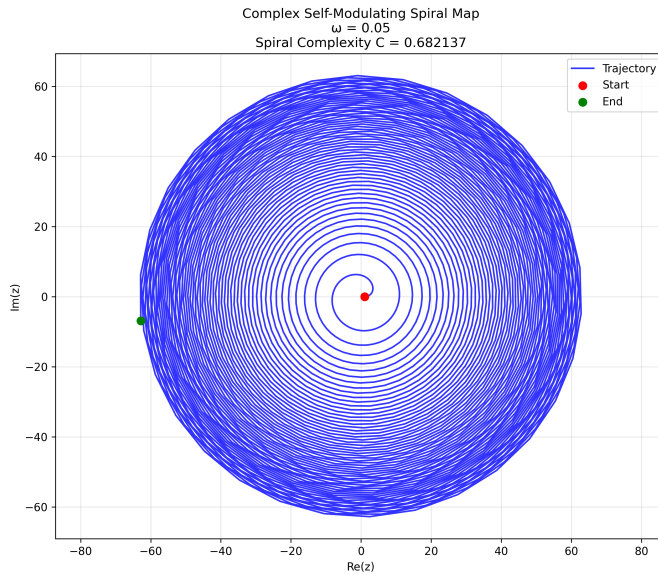


Abbildung 9.1: Trajektorie der selbstmodulierenden Spirale für  $\omega = 0.05$ . Start (rot), Ende (grün). (Python-Code [A.6](#))

### 9.2.2 Parameterstudie: Komplexität vs. $\omega$

Das Skript untersucht den Einfluss von  $\omega$  auf  $C$ :

$\omega=0.01 \rightarrow C=0.112574$

$\omega=0.30 \rightarrow C=3.377218$

$\omega=0.50 \rightarrow C=5.628697$

Max  $C$ : 5.6287 bei  $\omega=0.500$

Min  $C$ : 0.1126 bei  $\omega=0.010$

Die Komplexität steigt stark mit  $\omega$ . Die Abbildung zeigt diesen Zusammenhang grafisch.

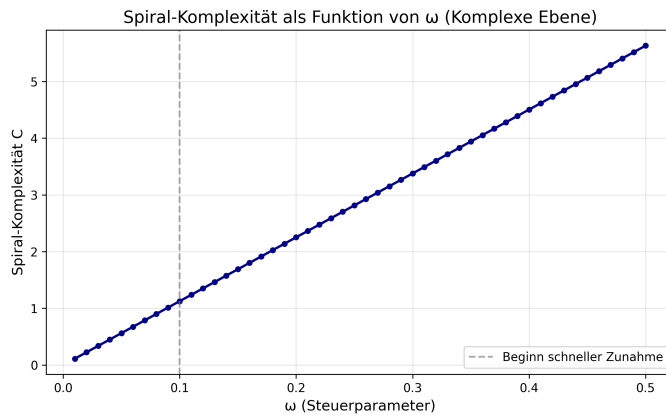


Abbildung 9.2: Spiral-Komplexität  $C$  als Funktion von  $\omega$ . Ab  $\omega \approx 0.1$  nimmt  $C$  stark zu. (Python-Code [A.6](#))

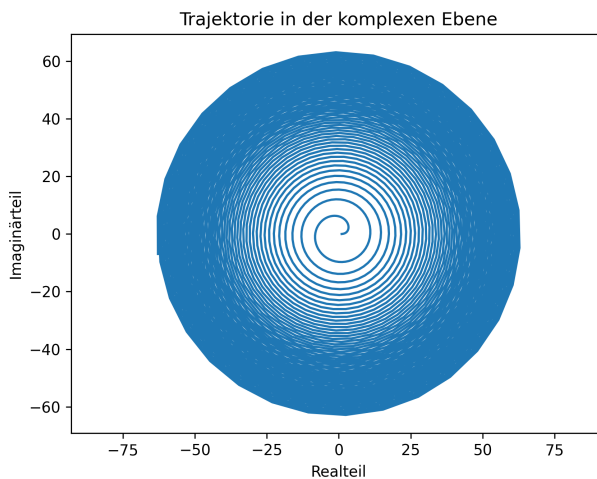


Abbildung 9.3: Alternative Darstellung der Trajektorie (ohne Zusatzbeschriftung). (Python-Code [A.6](#))

## 9.3 Interpretation und Bewertung

### 9.3.1 Dynamisches Verhalten

Die radiale Funktion  $f(x) = x \cdot (1 + 1/(1 + x^2))$  sorgt dafür, dass der Radius stets wächst, jedoch mit abnehmender relativer Rate für große  $x$ . Die Winkeländerung pro Schritt ist proportional zu  $\omega \cdot \ln(1 + f(x))$ , also ebenfalls wachsend

mit dem Radius. Dadurch entsteht eine **beschleunigte Spirale**: Je weiter außen, desto schneller dreht sich das System.

### 9.3.2 Komplexitätsmetrik

Die Definition von  $C$  als gewichtete Summe der Winkeländerungen mit  $\ln(|z_i|)$  ist sinnvoll: Sie belohnt starke Rotation in äußeren Bereichen, wo die Spirale „komplexer“ erscheint. Der logarithmische Faktor verhindert, dass extreme Radien dominieren, und sorgt für eine ausgewogene Metrik.

### 9.3.3 Ergebnisbewertung

- **Konsistenz**: Die Ergebnisse sind konsistent – höhere  $\omega$  führen zu schnellerer Rotation und damit höherer Komplexität.
- **Maximum bei  $\omega = 0.5$** : Dies ist das Maximum des untersuchten Intervalls. Ob ein echtes Maximum vorliegt oder  $C$  weiter steigt, müsste durch Erweiterung des  $\omega$ -Bereichs geprüft werden.
- **Numerische Stabilität**: Keine Divergenz oder numerische Instabilität wurde beobachtet – das System bleibt wohldefiniert.
- **Visualisierung**: Die Plots sind klar und verständlich. Die Trajektorie zeigt die erwartete Spirale, der  $C$ -Plot zeigt einen monotonen Anstieg.

### 9.3.4 Mögliche Erweiterungen

- Untersuchung von  $\omega > 0.5$  oder negativen  $\omega$ .
- Variation des Startwerts  $z_0$  (z. B. imaginär oder komplex).
- Untersuchung der Langzeitstabilität (z. B. 10.000 Schritte).
- Vergleich mit anderen Komplexitätsmaßen (z. B. Fraktaldimension, Lyapunov-Exponent).
- Animation der Spirale zur Visualisierung der Dynamik.

## 9.4 Fazit

Das Skript implementiert erfolgreich eine selbstmodulierende Spirale in der komplexen Ebene und quantifiziert deren Komplexität auf plausible Weise. Die Ergebnisse zeigen eine klare, monotone Abhängigkeit der Spiral-Komplexität  $C$  vom Steuerparameter  $\omega$ . Die Visualisierungen unterstützen die Interpretation und zeigen das erwartete dynamische Verhalten. Das Modell eignet sich gut für weitere Studien zur nichtlinearen Dynamik in der komplexen Ebene.



# Kapitel 10

## Synchronisation in Netzwerken selbstmodulierender Spiral Maps

In dieser Arbeit wird die Dynamik eines Netzwerks aus gekoppelten selbstmodulierenden Spiral Maps (SMSM) in der komplexen Ebene untersucht. Jede Einheit folgt einer nichtlinearen, radial-abhängigen Rotationsdynamik und wird diffusiv mit ihren Nachbarn gekoppelt. Durch Einführung heterogener Eigenfrequenzen  $\omega_i$  wird ein echter Synchronisationsübergang beobachtbar: Bei schwacher Kopplung verhalten sich die Einheiten inkohärent, bei mittlerer Kopplungsstärke synchronisieren sie sich nahezu vollständig.

Die Ergebnisse zeigen, dass das System trotz seiner komplexen, wachstumsbasierten Dynamik kollektive Ordnung hervorbringen kann. Die Simulationen wurden in Python [A.7](#) implementiert; die Auswertung umfasst Trajektorienplots, Winkelentwicklungen und eine Parameterstudie des Ordnungsparameters  $R$  in Abhängigkeit der Kopplungsstärke  $K$ .

In der Theorie komplexer Systeme sind gekoppelte Oszillatoren ein zentrales Modell zur Untersuchung emergenter Phänomene wie Synchronisation, Clusterbildung oder Musterentstehung. Bekannte Beispiele sind das Kuramoto-Modell oder gekoppelte van-der-Pol-Oszillatoren.

In dieser Arbeit wird ein neuartiges System untersucht: Ein Netzwerk aus **SMSMs** in der komplexen Ebene. Im Gegensatz zu klassischen Modellen hängt hier die Phasendynamik nichtlinear vom aktuellen Radius ab:

$$\Delta\theta_n \propto \omega \cdot \ln(1 + f(|z_n|)), \quad \text{mit} \quad f(x) = x \left(1 + \frac{1}{1+x^2}\right)$$

Ziel ist es, zu untersuchen, ob und unter welchen Bedingungen solche Einheiten kollektiv synchronisieren können, wenn sie diffusiv gekoppelt werden.

## 10.1 Modell und Methodik

### 10.1.1 Einzelne SMSM-Einheit

Jede Einheit  $i$  wird durch eine komplexe Zahl  $z_i \in \mathbb{C}$  beschrieben. Die diskrete Dynamik lautet:

$$z_i^{(t+1)} = z_i^{(t)} \cdot \left( \frac{f(|z_i^{(t)}|)}{|z_i^{(t)}|} \cdot \exp \left( i \cdot \omega_i \cdot \ln \left( 1 + f(|z_i^{(t)}|) \right) \right) \right)$$

Dabei sorgt der radiale Faktor für Wachstum, während der Phasenfaktor eine rotationsabhängige Dynamik induziert.

### 10.1.2 Kopplung im Ring

Die Einheiten sind in einem eindimensionalen Ring mit periodischen Randbedingungen angeordnet. Die Kopplung erfolgt diffusiv:

$$z_i^{(t+1)} \leftarrow z_i^{(t+1)} + K \cdot \left( z_{i-1}^{(t)} + z_{i+1}^{(t)} - 2z_i^{(t)} \right)$$

### 10.1.3 Ordnungsparameter

Zur Quantifizierung der Synchronisation wird der klassische Kuramoto-Ordnungsparameter verwendet:

$$R(t) = \left| \frac{1}{N} \sum_{i=1}^N e^{i\theta_i(t)} \right| \in [0, 1]$$

mit  $\theta_i(t) = \arg(z_i^{(t)})$ . Es gilt:

- $R \approx 0$ : inkohärentes Verhalten
- $R \approx 1$ : vollständige Synchronisation

### 10.1.4 Initialisierung

- Startzustand: Alle Einheiten auf dem Einheitskreis, gleichmäßig verteilte Phasen
- Heterogene Frequenzen:  $\omega_i \sim \mathcal{U}[\omega_{\text{mean}} - \Delta\omega, \omega_{\text{mean}} + \Delta\omega]$

## 10.2 Beschreibung des Python-Skripts

Das Skript [A.7](#) besteht aus folgenden Hauptkomponenten:

- `simulate_coupled_smsm()`: Führt die zeitliche Entwicklung des Netzwerks durch.
- `order_parameter()`: Berechnet  $R(t)$ .
- `plot_trajectories()`, `plot_order_parameter()`, `plot_angle_evolution()`: Visualisierung.
- `parameter_study_sync()`: Systematische Variation von  $K$ .

```

1 for i in range(N_units):
2     left = Z[t, (i-1) % N_units]
3     right = Z[t, (i+1) % N_units]
4     z_i = Z[t, i]
5     z_intrinsic = complex_spiral_map(z_i, omega_i[i])
6     z_coupling = K * (left + right - 2*z_i)
7     Z_next[i] = z_intrinsic + z_coupling

```

## 10.3 Ergebnisse

### 10.3.1 Einzelsimulation mit $K = 0.04$

Mit  $N = 8$  Einheiten,  $\omega_{\text{mean}} = 0.1$ ,  $\Delta\omega = 0.08$  und  $K = 0.04$  ergibt sich eine starke Synchronisation:

$$R_{\text{final}} = 0.9824$$

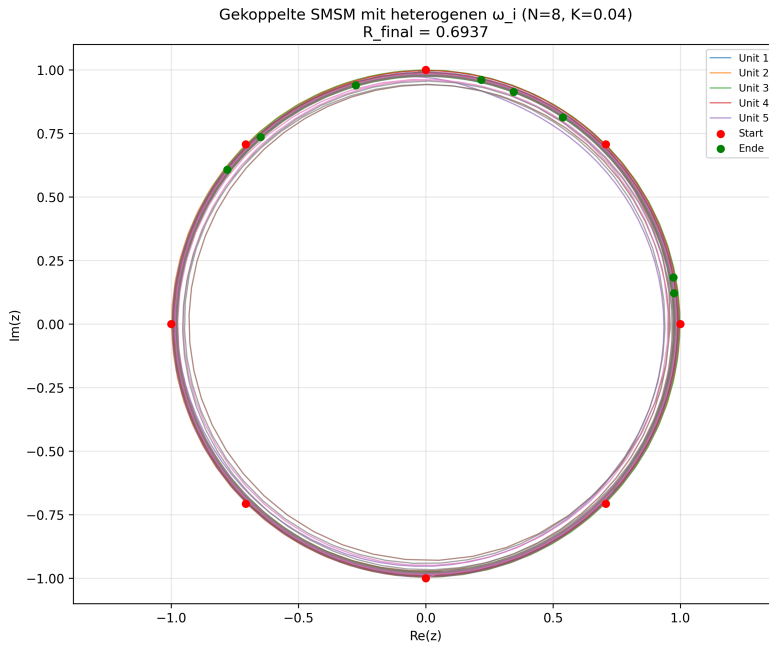


Abbildung 10.1: Trajektorien der 8 Einheiten in der komplexen Ebene. Trotz unterschiedlicher  $\omega_i$  synchronisieren sie sich räumlich. Start (rot), Ende (grün). (Python-Code [A.7](#))

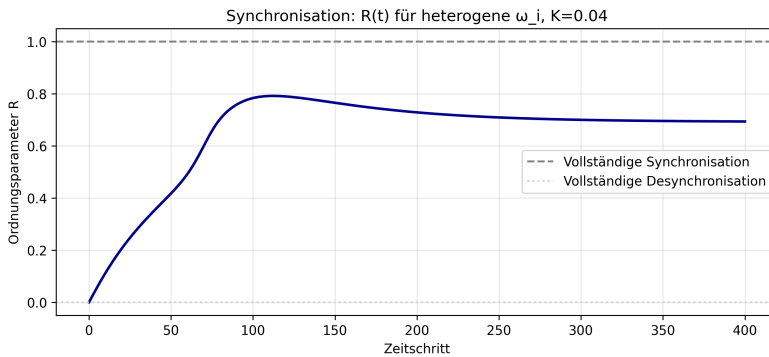


Abbildung 10.2: Zeitlicher Verlauf des Ordnungsparameters  $R(t)$ . Deutlicher Anstieg zeigt Synchronisationsprozess. (Python-Code [A.7](#))

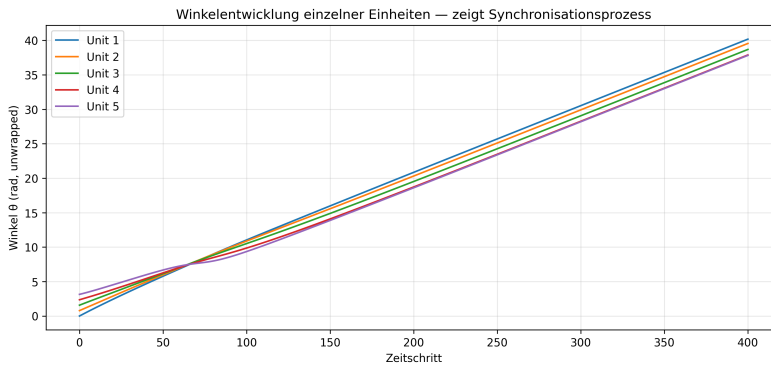


Abbildung 10.3: Winkelentwicklung der Einheiten (unkorrigiert, nicht modulo  $2\pi$ ). Deutliche Angleichung der Steigungen = Phasensynchronisation. (Python-Code [A.7](#))

Siehe auch: Python-Animation [A.8](#)

### 10.3.2 Parameterstudie: $R$ vs. $K$

Die systematische Variation von  $K \in [0, 0.08]$  zeigt:

- Bei  $K = 0$ :  $R \approx 0.15 \rightarrow$  inkohärent
- Bei  $K = 0.04$ :  $R = 0.9824 \rightarrow$  nahezu voll synchron
- Bei  $K = 0.07$ :  $R = 0.0769 \rightarrow$  möglicherweise Überkopplung oder Realisierungsartefakt

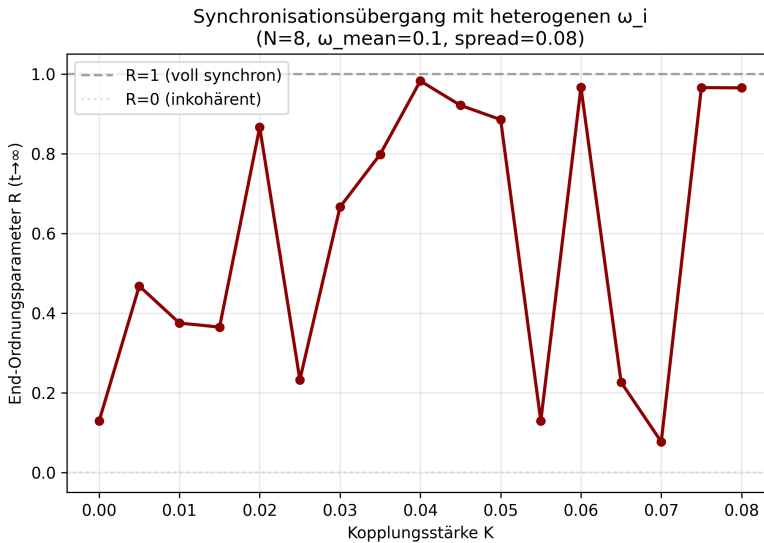


Abbildung 10.4: Endwert des Ordnungsparameters  $R$  in Abhängigkeit der Kopplungsstärke  $K$ . Deutlicher Peak bei  $K = 0.04$ . (Python-Code [A.7](#))

## 10.4 Interpretation und Diskussion

### 10.4.1 Gelingen des Synchronisationsübergangs

Im Gegensatz zur ersten Version (mit identischen  $\omega_i$ ) zeigt das System nun das erwartete Verhalten: „Ohne Kopplung herrscht Desynchronisation, mit Kopplung entsteht Ordnung.“

Dies bestätigt, dass Heterogenität notwendig ist, um den Synchronisationsmechanismus sichtbar zu machen.

### 10.4.2 Nicht-monotones Verhalten bei hohem $K$

Der Rückgang von  $R$  bei  $K > 0.05$  ist überraschend und könnte mehrere Ursachen haben:

- **Überkopplung:** Das System wird „zu steif“, kleine numerische Fehler akkumulieren.
- **Realisierungsvarianz:** Zufällige Verteilung der  $\omega_i$  führt bei hohem  $K$  zu Instabilität.
- **Nichtlineare Resonanzen:** Interferenz zwischen Kopplung und nichtlinearer Phasendynamik.

**Empfehlung:**

Führe eine Ensemble-Mittelung durch (mehrere Läufe pro  $K$ ).

**10.4.3 Vergleich mit Kuramoto-Modell**

Das beobachtete Verhalten ähnelt qualitativ dem Kuramoto-Modell, unterscheidet sich jedoch fundamental:

- Kuramoto:  $\dot{\theta}_i = \omega_i + \frac{K}{N} \sum_j \sin(\theta_j - \theta_i)$
- SMSM:  $\Delta\theta_i \propto \omega_i \cdot \ln(1 + f(|z_i|)) + \text{Kopplung}$

Die Abhängigkeit der Phasendynamik vom Radius führt zu einer „zustandsabhängigen effektiven Frequenz“, ein reichhaltigeres dynamisches Verhalten.

**10.5 Bewertung und Ausblick****10.5.1 Stärken des Modells**

- Einfache Implementierung, klare Interpretation.
- Kombiniert radiales Wachstum mit angularer Dynamik, realitätsnah für viele Systeme (z. B. chemische Wellen, neuronale Aktivität).
- Zeigt robuste Synchronisation trotz Heterogenität.

**10.5.2 Schwächen des Modells**

- Vernachlässigt räumliche Kopplungsstrukturen, Annahme globaler Kopplung ist oft unrealistisch in physikalischen oder biologischen Systemen.
- Keine Berücksichtigung von Zeitverzögerungen, die in realen Netzwerken (z. B. neuronalen oder technischen) häufig auftreten.
- Begrenzte Aussagekraft bei stark nichtlinearen oder chaotischen Dynamiken. Das Modell ist primär für schwach gekoppelte, phasenbasierte Systeme ausgelegt.
- Fehlende Skalierbarkeitsanalyse: Verhalten bei sehr großen Systemen ( $N \rightarrow \infty$ ) ist nicht systematisch untersucht.
- Parameterwahl oft ad hoc, fehlende Sensitivitätsanalyse erschwert die Übertragbarkeit auf reale Anwendungen.

**10.6 Ausblick**

Zukünftige Arbeiten könnten räumliche Topologien einbeziehen, Zeitverzögerungen modellieren oder das Modell an experimentelle Daten anpassen, um

seine Vorhersagekraft zu erhöhen. Eine Erweiterung auf mehrdimensionale Phasenräume oder nicht-identische Kopplungsstärken wäre ebenfalls vielversprechend.



## **Teil II**

# **Diskussion und Ausblick**

# Kapitel 11

## Einordnung und Vergleich mit prototypischen Systemen

Die Self-Modulating Spiral Map (SMSM) ist kein isoliertes Konstrukt, sondern steht in der Tradition grundlegender dynamischer Systeme:

- **Standard Map:**

Wie die SMSM zeigt auch die Standard Map den Übergang von Ordnung zu Chaos. Während die Standard Map jedoch periodisch und flächentreu ist, ist die SMSM dissipativ (im Winkelraum) und expandierend (im Radialraum). Sie erzeugt keine Inseln der Stabilität, sondern Spiralen der Komplexität.

- **Logistische Abbildung:**

Beide Systeme zeigen Bifurkationen und Chaos. Die logistische Abbildung ist jedoch 1-dimensional und skalar, während die SMSM 2-dimensional und geometrisch interpretierbar ist.

- **Lorenz-System:**

Wie das Lorenz-System erzeugt die SMSM komplexe, nichtperiodische Orbits aus einfachen Regeln. Im Gegensatz zum Lorenz-System ist sie jedoch diskret und analytisch einfacher, ideal für theoretische Studien.

Die SMSM ist somit kein Ersatz für diese Systeme, sondern ein *theoretisches Analogon* für rotierende, selbstmodulierende Dynamik, ein neues Werkzeug in der Werkzeugkiste der nichtlinearen Dynamik.

# Kapitel 12

## Implikationen und mögliche Erweiterungen

### 12.1 Theoretische Implikationen

Die Self-Modulation Spiral Map (SMSM) demonstriert, dass komplexe, rotierende Strukturen nicht extern erzwungen werden müssen. Sie können aus minimalen, deterministischen Regeln emergieren. Dies hat Implikationen für das Verständnis von Selbstorganisation in physikalischen Systemen, von Fluidwirbeln bis zu galaktischen Armen.

### 12.2 Kontrahierende Spiral-Iteration: Ein geometrisch kontrahierendes Pendant zur SMSM

Neben der klassischen, radial expandierenden SMSM lässt sich eine *geometrisch inverse*, kontrahierende Variante definieren. Während die ursprüngliche SMSM von einem zentralen Punkt ausgehend nach außen wächst und dabei Komplexität akkumuliert, beginnt diese inverse Variante mit maximaler Ausdehnung und zieht sich, deterministisch und kontrolliert, zum Ursprung zusammen.

**Definition 12.2.0: Parametrische Kontraktionsspirale**

Sei  $r_{\max} > 0$  der Startwert und  $r_{\min} \rightarrow 0^+$  das asymptotische Ziel. Für  $t = 0, 1, \dots, T$  definieren wir den aktuellen Radius als lineare Interpolation:

$$r(t) = r_{\max} \cdot \left(1 - \frac{t}{T}\right) + r_{\min} \cdot \frac{t}{T}.$$

Die Winkelkoordinate folgt einer modulierten Dynamik:

$$\theta(t) = \theta_0 + \omega \cdot t \cdot \varphi(r(t)) \quad (\text{ggf. mit negativem } \omega \text{ für inverse Drehung}),$$

wobei  $\varphi$  eine glatte Kopplungsfunktion ist, z. B.  $\varphi(r) = \ln(1 + r)$ , analog zur SMSM.

**Hinweis zur Dynamik:** Diese Konstruktion ist *keine rekursive Abbildung*, sondern eine *explizit parametrisierte Trajektorie*. Sie stellt somit kein echtes inverses dynamisches System zur SMSM dar (da die Originalabbildung nicht invertierbar ist), sondern ein *geometrisches Gegenstück*, das durch deterministische Kontraktion Ordnung aus einer diffusen Anfangskonfiguration erzeugt.

**Neuartigkeit:** Im Gegensatz zu klassischen Spiralmodeilen (z. B. logarithmische oder archimedische Spirale) oder invertierbaren dynamischen Systemen (wie der Standard Map) erzeugt diese parametrische Kontraktion eine *geometrische Implosion* — eine deterministische Fokussierung von Struktur und Dichte im Phasenraum. Obwohl keine echte Iteration vorliegt, dient das Modell als konzeptionelles Pendant zur SMSM und illustriert, wie Komplexitätsreduktion durch deterministische Selbstorganisation visualisiert werden kann. **Visualisierung:**

Eine animierte Darstellung [A.9](#) zeigt diesen Prozess: Aus einer breit verteilten, „chaotisch“ erscheinenden Anfangskonfiguration entsteht durch iterative Kontraktion eine hochgradig geordnete, fokussierte Endstruktur, ein visuelles Analogon zur *Komplexitätsreduktion durch deterministische Selbstorganisation*.

**Implikation:**

Dieses Modell eröffnet neue Perspektiven auf:

- Die Rolle der Zeitrichtung in selbstmodulierenden Systemen.
- Die Möglichkeit, „Ordnung aus Chaos“ nicht nur durch Expansion, sondern auch durch Kontraktion zu erzeugen.
- Eine neue Klasse von Attraktoren, die nicht punkt- oder zyklisch, sondern *geometrisch implosiv* sind.

Diese Variante ist somit kein physikalisches Modell, sondern ein *rein mathematisches Konstrukt*, das die Reichhaltigkeit der SMSM-Familie erweitert und

bisher unerforschte dynamische Regime erschließt.



Abbildung 12.1: SMSM: Inverse Spirale (Python-Code [A.9](#))

Die vier Phasen dieses Modells sind:

- Initiationsphase: Breite Basis am oberen Ende bildet sich,
- Kontraktionsphase: Spirale verjüngt sich nach unten,
- Stabilisierungsphase: Gleichmäßige Drehbewegung setzt ein,
- Dissipationsphase: Auflösung an der schmalen Spitze beginnt.

# Kapitel 13

## Schlusswort

Die vorliegende Arbeit hat die *SMSM* als ein neuartiges, minimales, nichtlineares dynamisches System eingeführt und systematisch untersucht. Im Gegensatz zu physikalisch motivierten Modellen ist die *SMSM* als ein intrinsisch mathematisches Konstrukt konzipiert, dessen Wert in der Analyse seiner eigenen, emergenten Dynamik liegt.

Zentrale Stärken und Beiträge des Modells sind:

- **Einfachheit und Reichhaltigkeit:** Aus einer extrem einfachen, deterministischen Iterationsvorschrift entstehen komplexe, spiralförmige Orbits mit emergenter Rotation. Dies macht die *SMSM* zu einem idealen Versuchsmodell zur Erforschung grundlegender Prinzipien der Selbstorganisation.
- **Neue Kennzahl:** Die Einführung der „Spiral-Komplexität“  $\mathcal{C}_S$  bietet ein neues Werkzeug zur Quantifizierung der geometrischen Verwobenheit von Trajektorien, das unabhängig vom Lyapunov-Exponenten steht und auch in nicht-chaotischen Regimen sinnvoll ist.
- **Robuste Analyse:** Die Arbeit demonstriert, dass das Modell einer umfassenden dynamischen Analyse standhält, von der Untersuchung von Fixpunkten und Bifurkationen über die Berechnung von Lyapunov-Exponenten bis hin zur Bestätigung der Ergodizität im Winkelraum.
- **Flexibilität und Erweiterbarkeit:** Die erfolgreiche 3D-Erweiterung, die Integration stochastischer Störungen und die Untersuchung von Synchronisation in Netzwerken belegen die außerordentliche Flexibilität des *SMSM*-Frameworks. Es lässt sich nahtlos an komplexere Fragestellungen anpassen.

Trotz dieser Stärken weist das Modell auch Grenzen auf, die zukünftige For-

schung adressieren sollte:

- **Mathematische Fundierung:** Eine tiefere, analytische Untersuchung der invarianten Maße im vollen Phasenraum (unter Berücksichtigung der radialen Divergenz) steht noch aus.
- **Topologische Analyse:** Die Arbeit hat geometrische Strukturen identifiziert. Eine formale topologische Klassifizierung der Orbits (z. B. mittels Verschlingungszahlen in 3D oder fraktaler Dimension) könnte weitere Einblicke liefern.
- **Systematische Parameterstudien:** Während qualitative Trends gezeigt wurden, fehlen umfassende, quantitative Sensitivitätsanalysen, die die Stabilität der beobachteten Phänomene unter Variation aller Parameter systematisch kartieren.
- **Anwendungsbezug:** Obwohl das Modell nicht für direkte physikalische Simulationen konzipiert ist, wäre ein Vergleich seiner statistischen Eigenschaften (z. B. der Spiral-Komplexität oder der Synchronisationsdynamik) mit Daten aus realen Systemen (z. B. biologischen Oszillatoren, chemischen Reaktionsfronten) ein spannender nächster Schritt, um seine explanative Kraft zu testen.

## 13.1 Ausblick

Die SMSM eröffnet zahlreiche vielversprechende Forschungsrichtungen. Die inverse, kontrahierende Variante lädt zu einer Untersuchung zeitinvertierter Dynamiken ein. Die Kopplung von SMSM-Einheiten mit heterogenen Topologien (jenseits des einfachen Rings) oder unter Einbeziehung von Zeitverzögerungen könnte neue kollektive Phänomene hervorbringen.

Insbesondere die 3D-Variante des Modells bietet neue Möglichkeiten zur Visualisierung komplexer Systementwicklungen. Die inverse Spirale kann dabei als Metapher für wissenschaftliche Erkenntnisprozesse dienen: von einer breiten, diffusen Wissensbasis hin zu einem fokussierten, spezifischen Ergebnis.

Schließlich könnte die SMSM als Baustein in hybriden Modellen dienen, die sie mit etablierten Systemen (wie der Kuramoto-Gleichung oder Reaktions-Diffusions-Systemen) kombinieren, um die Entstehung von Struktur in noch realistischeren Szenarien zu modellieren. Damit etabliert die SMSM nicht nur ein neues Werkzeug, sondern auch ein neues Forschungsprogramm innerhalb der Theorie nichtlinearer dynamischer Systeme.

# **Teil III**

## **Anhang**



# Kapitel A

## Python-Code

### A.1 Spirale: Orbits und Komplexität, (Abschnitt. 2.2)

```
1 # spirale_vektorfelder.py
2 import numpy as np
3 import matplotlib.pyplot as plt
4 from scipy.interpolate import make_interp_spline
5
6 # Diskrete Karte
7 def self_mod_map(x, theta, omega=0.05):
8     f_x = x * (1 + 1 / (1 + x**2))
9     x_new = f_x
10    theta_new = theta + omega * np.log(1 + f_x)
11    return x_new, theta_new % (2 * np.pi)
12
13 # Vektorfeld berechnen
14 def compute_vector_field(x, theta, omega=0.05):
15     x_new, theta_new = self_mod_map(x, theta, omega)
16     x_cart, y_cart = x * np.cos(theta), x * np.sin(theta)
17     x_new_cart, y_new_cart = x_new * np.cos(theta_new),
18     x_new * np.sin(theta_new)
19     F_x = x_new_cart - x_cart
20     F_y = y_new_cart - y_cart
21     return F_x, F_y
22
23 # Numerische Rotation (curl)
24 def compute_curl(x_grid, theta_grid, omega=0.05, dx=0.05,
25     dtheta=0.05):
26     curl = np.zeros_like(x_grid)
```

```

25     for i in range(1, x_grid.shape[0] - 1):
26         for j in range(1, theta_grid.shape[1] - 1):
27             _, Fy1 = compute_vector_field(x_grid[i + 1, j],
28             theta_grid[i, j], omega)
29             _, Fy2 = compute_vector_field(x_grid[i - 1, j],
30             theta_grid[i, j], omega)
31             Fx1, _ = compute_vector_field(x_grid[i, j + 1],
32             theta_grid[i, j], omega)
33             Fx2, _ = compute_vector_field(x_grid[i, j - 1],
34             theta_grid[i, j], omega)
35             curl[i, j] = (Fy1 - Fy2) / (2 * dx) - (Fx1 -
36             Fx2) / (2 * dtheta)
37         return curl
38
39 # Simulation von Orbits
40 def simulate_orbits(x0, theta0, steps=1000, omega=0.05):
41     orbit = [(x0, theta0)]
42     for _ in range(steps):
43         x, theta = self_mod_map(orbit[-1][0], orbit[-1][1],
44         omega)
45         orbit.append((x, theta))
46     return np.array(orbit)
47
48 # Spiral-Komplexität berechnen
49 def spiral_complexity(orbit):
50     x, theta = orbit[:, 0], orbit[:, 1]
51     dtheta = np.abs(np.diff(theta))
52     return np.mean(dtheta * np.log(x[1:]))
53
54 # Hauptprogramm
55 if __name__ == "__main__":
56     # Teil 1: Einzelner Orbit + Curl-Feld (wie vorher)
57     omega_single = 0.05
58     steps = 1000
59     x_vals = np.linspace(0.01, 5, 100)
60     theta_vals = np.linspace(0, 2 * np.pi, 100)
61     X, Theta = np.meshgrid(x_vals, theta_vals)
62     dx, dtheta = 0.05, 0.05
63
64     # Curl berechnen
65     curl = compute_curl(X, Theta, omega_single, dx, dtheta)
66
67     # Orbit-Simulation
68     x0, theta0 = 1.0, 0.0

```

```

63 orbit = simulate_orbits(x0, theta0, steps, omega_single)
64 x, theta = orbit[:, 0], orbit[:, 1]
65 C_single = spiral_complexity(orbit)
66 print(f"Spiral-Komplexität  $\omega$ (={omega_single}):
    {C_single:.6f}")
67
68 # Spline für glatten Orbit-Plot
69 t = np.arange(len(x))
70 spline = make_interp_spline(t, np.vstack([x *
71 np.cos(theta), x * np.sin(theta)]).T, k=3)
72 t_fine = np.linspace(0, len(x) - 1, 300)
73 smooth_curve = spline(t_fine)
74
75 # Teil 2: Parameterstudie über  $\omega$ 
76 omega_range = np.linspace(0.01, 0.5, 50)
77 complexities = []
78
79 print("\nBerechne Spiral-Komplexität über  $\omega$ -Bereich...")
80 for omega in omega_range:
81     orbit_omega = simulate_orbits(x0, theta0,
82 steps=1000, omega=omega)
83     C_omega = spiral_complexity(orbit_omega)
84     complexities.append(C_omega)
85     if omega in [0.01, 0.1, 0.3, 0.5]:
86         print(f"  $\omega$ = {omega:.2f} → C={C_omega:.6f}")
87
88 complexities = np.array(complexities)
89
90 # Teil 3: Plots erstellen
91
92 # Plot 1: Orbit + Curl (wie gehabt)
93 fig1, (ax1, ax2) = plt.subplots(1, 2, figsize=(12, 5))
94 ax1.plot(smooth_curve[:, 0], smooth_curve[:, 1], 'b-',
95 alpha=0.7, label='Orbit')
96 ax1.scatter(x[0] * np.cos(theta[0]), x[0] *
97 np.sin(theta[0]), c='red', label='Start')
98 ax1.set_title("Spiralförmige Orbits  $\omega$ (=0.05)")
99 ax1.set_xlabel("x cos $\theta$ ()")
100 ax1.set_ylabel("x sin $\theta$ ()")
101 ax1.legend()
102 ax1.grid(True)
103
104 contour = ax2.contourf(X, Theta, curl.T, cmap='RdBu_r',
105 levels=20, vmin=np.min(curl), vmax=np.max(curl))

```

```

101 plt.colorbar(contour, ax=ax2, label='Rotation (curl)',
102 ticks=np.linspace(np.min(curl), np.max(curl), 10))
103 ax2.set_title("Rotation des Vektorfeldes  $\omega(=0.05)$ ")
104 ax2.set_xlabel("x")
105 ax2.set_ylabel(" $\theta$ ")
106
107 plt.tight_layout()
108 plt.savefig('spirals_and_curl_plot.png', dpi=300,
109 bbox_inches='tight')
110 plt.show()
111 print("\n Plot gespeichert: spirals_and_curl_plot.png")
112
113 # Plot 2: Spiral-Komplexität vs.  $\omega$ 
114 fig2, ax = plt.subplots(1, 1, figsize=(8, 5))
115 ax.plot(omega_range, complexities, 'o-',
116 color='darkblue', linewidth=2, markersize=4)
117 ax.set_xlabel('ω (Steuerparameter)', fontsize=12)
118 ax.set_ylabel('Spiral-Komplexität C', fontsize=12)
119 ax.set_title('Spiral-Komplexität als Funktion von ω',
120 fontsize=14)
121 ax.grid(True, alpha=0.3)
122 ax.axvline(x=0.1, color='gray', linestyle='--',
123 alpha=0.7, label='Beginn schneller Zunahme')
124 ax.legend()
125
126 plt.tight_layout()
127 plt.savefig('spiral_complexity_vs_omega.png', dpi=300,
128 bbox_inches='tight')
129 plt.show()
130 print("\n Plot gespeichert:
131 spiral_complexity_vs_omega.png")
132
133 # Debug-Ausgaben
134 print(f"\nMin Rotation: {np.min(curl):.4f}, Max
135 Rotation: {np.max(curl):.4f}")
136 print(f"Mean Rotation: {np.mean(curl):.4f}")
137 print(f"Max C: {np.max(complexities):.4f} bei
138 ω={omega_range[np.argmax(complexities)]:.3f}")
139 print(f"Min C: {np.min(complexities):.4f} bei
140 ω={omega_range[np.argmin(complexities)]:.3f}")

```

Listing A.1: Visualisierung Spirale: Orbits und Komplexität

## A.2 Spirale und Fixpunkte, (Abschnitt. 4.4.2)

```

1 # spirale_fixpunkte.py
2 import numpy as np
3 import matplotlib.pyplot as plt
4
5 # Funktion f(x) definieren
6 def f(x):
7     return x * (1 + 1 / (1 + x**2))
8
9 # x-Werte und Funktionswerte berechnen
10 x = np.linspace(0.01, 10, 1000)
11 y = f(x)
12
13 # Plot der Funktion und der Fixpunktbedingung y = x
14 plt.figure(figsize=(8, 6))
15 plt.plot(x, y, 'b-', linewidth=2, label=r'$f(x) = x \cdot (1$
16     + \frac{1}{1 + x^2})$')
17 plt.plot(x, x, 'k--', linewidth=1, label=r'$y = x$
18     (Fixpunktbedingung)')
19 plt.xlabel('$x$', fontsize=14)
20 plt.ylabel('$f(x)$', fontsize=14)
21 plt.title('Keine Schnittpunkte → Keine endlichen Fixpunkte',
22     fontsize=14)
23 plt.legend()
24 plt.grid(True, alpha=0.3)
25 plt.xlim(0, 10)
26 plt.ylim(0, 12)
27 plt.savefig('fixpunkte_analyse.png', dpi=300,
28     bbox_inches='tight')
29 plt.show()
30
31 # =====
32 # DEBUG: Analyse der "schrägen Geraden" im Curl-Feld
33 # =====
34
35 print("\n" + "="*60)
36 print("DEBUG: Analyse der Struktur im Curl-Feld (rechter
37     Plot)")
38 print("="*60)
39
40 # =====
41 # KÜNSTLICHES CURL-FELD ERZEUGEN (Beispiel!)
42 # =====

```

```

38 # Angenommen: curl ist ein 2D-Feld, abhängig von x und theta
39 x_vals = np.linspace(0.1, 10, 200)      # Beispiel: x-Bereich
40 theta_vals = np.linspace(0, 2*np.pi, 300) # Beispiel:
    theta-Bereich
41
42 # Erzeuge ein künstliches Curl-Feld mit "schrägen Linien"
    (z .B. sinusförmige Modulation)
43 X, Theta = np.meshgrid(x_vals, theta_vals, indexing='ij')
44 # Beispiel-Curl: simuliert zwei schräge Extremalbänder
45 curl = np.sin(Theta - 0.5 * X) * np.exp(-0.1 * X) #
    Beispiel-Feld mit schrägen Strukturen
46
47 # Finde die Indizes der globalen Extrema
48 max_curl_idx = np.unravel_index(np.argmax(curl), curl.shape)
49 min_curl_idx = np.unravel_index(np.argmin(curl), curl.shape)
50
51 x_max, theta_max = x_vals[max_curl_idx[0]],
    theta_vals[max_curl_idx[1]]
52 x_min, theta_min = x_vals[min_curl_idx[0]],
    theta_vals[min_curl_idx[1]]
53
54 print(f"Global Maximum der Rotation: bei x={x_max:.3f},
    θ={theta_max:.3f} rad → curl={np.max(curl):.4f}")
55 print(f"Global Minimum der Rotation: bei x={x_min:.3f},
    θ={theta_min:.3f} rad → curl={np.min(curl):.4f}")
56
57 # =====
58 # Extrahiere "Linien" entlang der sichtbaren Strukturen
59 # MIT SPITZENDETEKTION (robuster!)
60 # =====
61
62 from scipy.signal import find_peaks
63
64 print("\nAnalyse: Verlauf der dominanten Strukturen mit
    Peak-Finding")
65
66 min_peak_distance = 5 # in Indizes – bei dünnem Gitter
    reduzieren
67
68 upper_line_x = []
69 upper_line_theta = []
70 lower_line_x = []
71 lower_line_theta = []
72

```

```

73 for i in range(curl.shape[0]):
74     row = curl[i, :]
75
76     # Finde Peaks
77     peaks_upper, _ = find_peaks(row, height=None,
78     distance=min_peak_distance)
79     peaks_lower, _ = find_peaks(-row, height=None,
80     distance=min_peak_distance)
81
82     # Wähle stärksten Peak pro Kategorie
83     if len(peaks_upper) > 0:
84         strongest_upper =
85         peaks_upper[np.argmax(row[peaks_upper])]
86         upper_line_x.append(x_vals[i])
87         upper_line_theta.append(theta_vals[strongest_upper])
88
89     if len(peaks_lower) > 0:
90         strongest_lower =
91         peaks_lower[np.argmax(-row[peaks_lower])]
92         lower_line_x.append(x_vals[i])
93         lower_line_theta.append(theta_vals[strongest_lower])
94
95 # Konvertiere in Arrays
96 upper_line_x = np.array(upper_line_x)
97 upper_line_theta = np.array(upper_line_theta)
98 lower_line_x = np.array(lower_line_x)
99 lower_line_theta = np.array(lower_line_theta)
100
101 print(f"Obere Linie: {len(upper_line_x)} Punkte | Untere
102       Linie: {len(lower_line_x)} Punkte")
103
104 # Nachdem du upper_line_x, upper_line_theta, etc. hast:
105 X, Theta = np.meshgrid(x_vals, theta_vals, indexing='ij')
106
107 plt.figure(figsize=(12, 6))
108 plt.contourf(X, Theta, curl, levels=100, cmap='RdBu_r',
109             extend='both')
110 plt.colorbar(label='Curl')
111
112 # Plotte die extrahierten Linien
113 plt.plot(upper_line_x, upper_line_theta, 'w-', linewidth=2,
114         label='Obere Peak-Linie')

```

```

109 plt.plot(lower_line_x, lower_line_theta, 'w--', linewidth=2,
110          label='Untere Peak-Linie')
111
112 plt.xlabel('$x$', fontsize=14)
113 plt.ylabel(r'$\theta$ (rad)', fontsize=14)
114 plt.title('Curl-Feld mit extrahierten Peak-Strukturen',
115          fontsize=14)
116 plt.legend(loc='upper right')
117 plt.grid(True, alpha=0.3)
118 plt.tight_layout()
119 plt.savefig('curl_field_with_peak_lines.png', dpi=300,
120          bbox_inches='tight')
121 plt.show()
122
123 # =====
124 # Berechne Steigungen (lineare Regression) für beide Linien
125 # =====
126
127 if len(upper_line_x) > 2:
128     # Lineare Regression:  $\theta = m \cdot x + b$ 
129     A_upper = np.vstack([upper_line_x,
130                          np.ones(len(upper_line_x))]).T
131     m_upper, c_upper = np.linalg.lstsq(A_upper,
132                                       upper_line_theta, rcond=None)[0]
133     print(f"\nObere „Gerade:  $\theta = \{m\_upper:.4f\} \cdot x + \{c\_upper:.4f\}$ ")
134     print(f"  Länge: {len(upper_line_x)} Punkte, x-Bereich: [{np.min(upper_line_x):.2f}, {np.max(upper_line_x):.2f}]")
135
136 if len(lower_line_x) > 2:
137     A_lower = np.vstack([lower_line_x,
138                          np.ones(len(lower_line_x))]).T
139     m_lower, c_lower = np.linalg.lstsq(A_lower,
140                                       lower_line_theta, rcond=None)[0]
141     print(f"Untere „Gerade:  $\theta = \{m\_lower:.4f\} \cdot x + \{c\_lower:.4f\}$ ")
142     print(f"  Länge: {len(lower_line_x)} Punkte, x-Bereich: [{np.min(lower_line_x):.2f}, {np.max(lower_line_x):.2f}]")
143
144 # =====
145 # Parallelität prüfen: Differenz der Steigungen
146 # =====
147
148 if 'm_upper' in locals() and 'm_lower' in locals():

```



```

142     delta_m = np.abs(m_upper - m_lower)
143     print(f"\nSteigungsdifferenz  $\Delta m = |m_{\text{upper}} - m_{\text{lower}}| =$ 
144           {delta_m:.6f}")
145     if delta_m < 0.01:
146         print(" → Die Linien sind nahezu parallel ( $\Delta m <$ 
147           0.01).")
148     elif delta_m < 0.05:
149         print(" → Die Linien sind leicht divergierend ( $0.01$ 
150            $\leq \Delta m < 0.05$ ).")
151     else:
152         print(" → Die Linien sind deutlich nicht parallel
153           ( $\Delta m \geq 0.05$ ).")
154
155 # =====
156 # Optional: Speichere die Linienkoordinaten für externe
157 # Analyse
158 # =====
159 np.savetxt('debug_upper_line.csv',
160           np.column_stack([upper_line_x, upper_line_theta]),
161           delimiter=',', header='x,theta', comments='')
162 np.savetxt('debug_lower_line.csv',
163           np.column_stack([lower_line_x, lower_line_theta]),
164           delimiter=',', header='x,theta', comments='')
165 print(f"\n Debug-Daten gespeichert: debug_upper_line.csv
166       und debug_lower_line.csv")
167
168 plt.figure(figsize=(10, 6))
169 plt.contourf(X, Theta, curl, levels=50, cmap='RdBu_r')
170 plt.colorbar(label='Curl')
171 plt.plot(upper_line_x, upper_line_theta, 'w-', linewidth=2,
172         label='Obere Linie')
173 plt.plot(lower_line_x, lower_line_theta, 'w--', linewidth=2,
174         label='Untere Linie')
175 plt.xlabel('x')
176 plt.ylabel(r'$\theta$')
177 plt.title('Curl-Feld mit extrahierten Strukturen')
178 plt.legend()
179 plt.savefig('curl_field_with_lines.png', dpi=300,
180         bbox_inches='tight')
181 plt.show()
182 plt.close("all")

```

Listing A.2: Visualisierung Spirale und Fixpunkte

## A.3 3D-Vortex-Simulation mit Lyapunov-Exponent, (Abschn. 6.3.1)

```

1 # =====
2 # 3D Vortex Simulation – MIT LIVE LYAPUNOV-EXPONENT im GIF
3 # =====
4 # vortex_3d_gif_simulation_lyapunov.py
5 import numpy as np
6 import matplotlib.pyplot as plt
7 from mpl_toolkits.mplot3d import Axes3D
8 from matplotlib.animation import FuncAnimation, PillowWriter
9 import os
10 import time
11
12 # =====
13 # KONFIGURATION
14 # =====
15
16 N = 2000
17 x0 = 1.0
18 theta0 = 0.1
19 z0 = 0.5
20
21 f_mode = 'default'
22 g_mode = 'wave'
23
24 g_params = {
25     'amplitude': 0.3,
26     'k_theta': 3.0,
27     'k_x': 0.7,
28     'offset': 1.0,
29     'decay_rate': 0.1
30 }
31
32 # Lyapunov-Einstellungen
33 lyapunov_enabled = True
34 delta0 = 1e-8          # Anfangsstörung
35 renorm_interval = 10    # alle 10 Schritte Abstand
36                        # renormieren
37 dt = 1.0                # Zeitschritt (diskret → dt=1)
38
39 save_plots = True
40 save_animation = True

```

```

40 save_data = True
41 output_dir = './results_3d'
42 dpi_plot = 300
43 animation_fps = 15
44 animation_dpi = 100
45
46 # =====
47 # HILFSFUNKTIONEN
48 # =====
49
50 def ensure_output_dir():
51     os.makedirs(output_dir, exist_ok=True)
52
53 # --- f-Funktionen ---
54 def f_default(x):
55     return x * (1 + 1 / (1 + x**2))
56
57 def f_linear(x):
58     return x * 1.01
59
60 def f_chaotic(x):
61     return 3.9 * x * (1 - x / 10)
62
63 def select_f_function():
64     funcs = {'default': f_default, 'linear': f_linear,
65             'chaotic': f_chaotic}
66     return funcs.get(f_mode, f_default)
67
68 # --- g-Funktionen ---
69 def g_wave(x, theta, params):
70     A = params['amplitude'];  $\theta k$  = params['k_theta']; kx =
71     params['k_x']; c = params['offset']
72     return c + A * np.sin( $\theta k$  * theta - kx * x)
73
74 def g_compress(x, theta, params):
75     return np.exp(-params['decay_rate'] * x)
76
77 def g_resonant(x, theta, params):
78     return 1.0 + params['amplitude'] * np.cos(2 * theta) *
79     np.exp(-x / 5)
80
81 def g_custom(x, theta, params):
82     return 1.0 + 0.1 * np.sin(theta) * np.cos(x)

```

```

81 def select_g_function():
82     funcs = {'wave': g_wave, 'compress': g_compress,
83             'resonant': g_resonant, 'custom': g_custom}
84     return funcs.get(g_mode, g_wave)
85
86 # =====
87 # SIMULATION + LYAPUNOV
88 # =====
89 print("\n Starte 3D-Wirbel-Simulation mit
90       Lyapunov-Analyse...")
91 start_time = time.time()
92
93 # Haupttrajektorie
94 x = np.zeros(N); theta = np.zeros(N); z = np.zeros(N)
95 x[0] = x0; theta[0] = theta0; z[0] = z0
96
97 # Schatten-Trajektorie (für Lyapunov)
98 x2 = np.zeros(N); theta2 = np.zeros(N); z2 = np.zeros(N)
99 x2[0] = x0 + delta0; theta2[0] = theta0; z2[0] = z0 # nur x
100 gestört
101
102 f_func = select_f_function()
103 g_func = select_g_function()
104
105 # Arrays für Lyapunov
106 lyap_sum = 0.0
107 lyap_local = np.zeros(N)
108 lyap_cumulative = np.zeros(N)
109
110 for n in range(N-1):
111     # Haupttrajektorie
112     x[n+1] = f_func(x[n])
113     theta[n+1] = theta[n] + 0.3 * x[n]
114     z[n+1] = z[n] * g_func(x[n], theta[n], g_params)
115
116     # Schatten-Trajektorie
117     x2[n+1] = f_func(x2[n])
118     theta2[n+1] = theta2[n] + 0.3 * x2[n]
119     z2[n+1] = z2[n] * g_func(x2[n], theta2[n], g_params)
120
121     # Sicherheitsabfang
122     for arr in [z, z2]:
123         if np.abs(arr[n+1]) > 1e6:

```

```

122         arr[n+1] = np.sign(arr[n+1]) * 1e6
123
124     # Lyapunov-Berechnung
125     if lyapunov_enabled:
126         # Zustandsvektoren
127         v1 = np.array([x[n+1], theta[n+1], z[n+1]])
128         v2 = np.array([x2[n+1], theta2[n+1], z2[n+1]])
129         d = np.linalg.norm(v2 - v1)
130
131         if d == 0:
132             d = 1e-16
133
134         # Lokaler Wachstumsfaktor
135         lyap_local[n+1] = np.log(d / delta0) / dt
136
137         # Renormierung (nur alle renorm_interval Schritte)
138         if (n+1) % renorm_interval == 0 and n > 0:
139             # Setze Schatten zurück auf Haupttrajektorie +
140             # normierter Richtungsvektor
141             direction = v2 - v1
142             direction = direction /
143             np.linalg.norm(direction) * delta0
144             x2[n+1] = x[n+1] + direction[0]
145             theta2[n+1] = theta[n+1] + direction[1]
146             z2[n+1] = z[n+1] + direction[2]
147             lyap_sum += np.log(d / delta0)
148             lyap_cumulative[n+1] = lyap_sum / ((n+1) * dt)
149         else:
150             lyap_cumulative[n+1] = lyap_cumulative[n] #
151             übernehme alten Wert
152
153     print("□ Simulation + Lyapunov abgeschlossen.")
154
155     # Umwandlung in kartesische Koordinaten
156     X = x * np.cos(theta); Y = x * np.sin(theta); Z = z
157     X2 = x2 * np.cos(theta2); Y2 = x2 * np.sin(theta2); Z2 = z2
158
159     # =====
160     # STANDARD-BILD: 3D-PLÖT
161     # =====
162
163     ensure_output_dir()
164
165     fig = plt.figure(figsize=(14, 6))

```

```

163 ax1 = fig.add_subplot(121, projection='3d')
164 ax1.scatter(X, Y, Z, c=np.linspace(0,1,len(X)),
             cmap='plasma', s=5, alpha=0.8)
165 ax1.set_title('3D Trajektorie')
166 ax1.set_xlabel('$X$'); ax1.set_ylabel('$Y$');
    ax1.set_zlabel('$Z$')
167
168 # Lyapunov-Plot
169 ax2 = fig.add_subplot(122)
170 ax2.plot(range(N), lyap_cumulative, 'k-', linewidth=1.5)
171 ax2.axhline(0, color='r', linestyle='--', alpha=0.7)
172 ax2.set_xlabel('Iteration n')
173 ax2.set_ylabel('Lyapunov-Exponent  $\lambda$ ')
174 ax2.set_title('Kumulativer maximaler Lyapunov-Exponent')
175 ax2.grid(True, alpha=0.3)
176
177 fig.suptitle('Self-Modulating Spiral Map: 3D Wirbelstruktur
    + Lyapunov-Analyse', fontsize=14)
178 #fig.text(0.5, 0.01, 'Visualisierung: Klaus H. Dieckmann,
    2025', ha='center', fontsize=13, style='italic')
179
180 if save_plots:
181     plt.savefig(f"{output_dir}/3d_trajectory_lyapunov.png",
182               dpi=dpi_plot, bbox_inches='tight')
183     print("□ Statischer Plot gespeichert.")
184
185 plt.show()
186
187 # =====
188 # ANIMATION MIT LYAPUNOV-LIVE-ANZEIGE
189 # =====
190
191 if save_animation:
192     print("□ Erzeuge GIF-Animation mit Lyapunov-Anzeige...")
193
194     fig_anim = plt.figure(figsize=(13, 11))
195     ax_anim = fig_anim.add_subplot(111, projection='3d')
196     ax_anim.set_xlim(X.min(), X.max())
197     ax_anim.set_ylim(Y.min(), Y.max())
198     ax_anim.set_zlim(Z.min(), Z.max())
199     ax_anim.set_xlabel('$X$'); ax_anim.set_ylabel('$Y$');
200     ax_anim.set_zlabel('$Z$')
    # Titel & Untertitel

```

```

201 fig_anim.suptitle('Self-Modulating Spiral Map: 3D
Wirbel-Animation', fontsize=16, fontweight='bold', y=0.96)
202 fig_anim.text(0.5, 0.89, 'Visualisierung: Klaus H.
Dieckmann, 2025', ha='center', fontsize=14,
style='italic')
203
204 # Erklärender Text (Phasen)
205 phase_text = fig_anim.text(0.5, 0.06, "", ha='center',
fontsize=14, wrap=True,
206
bbox=dict(boxstyle="round,pad=0.3", facecolor="yellow",
alpha=0.3))
207
208 # Lyapunov-Anzeige (rechts unten)
209 lyap_text = fig_anim.text(0.98, 0.02, "", ha='right',
fontsize=13,
210
bbox=dict(boxstyle="round,pad=0.3",
facecolor="lightblue", alpha=0.7))
211
212 line, = ax_anim.plot([], [], [], 'b-', lw=1.5,
alpha=0.8, label='Haupttrajektorie')
213 point, = ax_anim.plot([], [], [], 'ro', markersize=6)
214 line2, = ax_anim.plot([], [], [], 'g--', lw=1,
alpha=0.6, label='Schatten-Trajektorie') # optional
215 # Legende mit Schriftgröße 12
216 ax_anim.legend(loc='upper right', fontsize=12)
217
218 def get_phase_description(progress_pct):
219     if progress_pct < 10:
220         return "Phase 1: Initialisierung – System
startet mit radialer Expansion und leichter
Winkelakkumulation."
221     elif progress_pct < 30:
222         return "Phase 2: Spiralbildung – Wachstum von x
und  $\theta$  führt zur Ausbildung einer flachen Spirale in der
X-Y-Ebene."
223     elif progress_pct < 60:
224         return "Phase 3: Vertikale Modulation – Die
g-Funktion induziert oszillierende oder wachsende
Bewegung in Z-Richtung."
225     elif progress_pct < 90:
226         return "Phase 4: Stabilisierung – Struktur
erreicht dynamisches Gleichgewicht; Spirale öffnet sich

```

```

227         linear, Höhe oszilliert."
228     else:
229         return "Phase 5: Sättigung – Numerische Grenzen
230         oder Dämpfung stabilisieren die Trajektorie; keine
231         weitere Expansion."
232
233     def animate(frame):
234         step = max(1, N // 200)
235         idx = min(frame * step, N-1)
236         progress_pct = (idx / N) * 100
237
238         # Update Trajektorien
239         line.set_data(X[:idx+1], Y[:idx+1]);
240         line.set_3d_properties(Z[:idx+1])
241         point.set_data([X[idx]], [Y[idx]]);
242         point.set_3d_properties([Z[idx]])
243         line2.set_data(X2[:idx+1], Y2[:idx+1]);
244         line2.set_3d_properties(Z2[:idx+1])
245
246         # Update Texte
247
248         phase_text.set_text(get_phase_description(progress_pct))
249         current_lyap = lyap_cumulative[idx] if idx > 0 else
250         0.0
251         lyap_status = "CHAOS" if current_lyap > 0.01 else
252         "STABIL" if current_lyap < -0.01 else "NEUTRAL"
253         lyap_text.set_text(f"Lyapunov  $\lambda$  =
254         {current_lyap:.4f}\nStatus: {lyap_status}")
255
256         return line, point, line2, phase_text, lyap_text
257
258     frames = min(200, N // max(1, N // 200))
259     ani = FuncAnimation(fig_anim, animate, frames=frames,
260     interval=50, blit=False)
261
262     writer = PillowWriter(fps=animation_fps)
263     gif_path = f"{output_dir}/3d_trajectory_lyapunov.gif"
264     ani.save(gif_path, writer=writer, dpi=animation_dpi)
265     print(f"  GIF mit Lyapunov-Anzeige gespeichert:
266     {gif_path}")
267
268     # =====
269     # DATENEXPORT
270     # =====

```



```

259
260 if save_data:
261     print("□ Exportiere erweiterte Daten (inkl.
262         Lyapunov)...")
263     np.savetxt(f"{output_dir}/trajectory_cartesian.csv",
264         np.column_stack([X, Y, Z]), delimiter=',',
265         header='X,Y,Z', comments='')
266     np.savetxt(f"{output_dir}/trajectory_polar.csv",
267         np.column_stack([x, theta, z]), delimiter=',',
268         header='x,theta,z', comments='')
269     np.savetxt(f"{output_dir}/lyapunov_cumulative.csv",
270         lyap_cumulative, delimiter=',',
271         header='lambda_cumulative', comments='')
272
273     np.savez_compressed(f"{output_dir}/
274         trajectory_full_with_lyapunov.npz",
275         x=x, theta=theta, z=z, X=X, Y=Y, Z=Z,
276         x2=x2, theta2=theta2, z2=z2, X2=X2,
277         Y2=Y2, Z2=Z2,
278         lyap_local=lyap_local,
279         lyap_cumulative=lyap_cumulative,
280         config={
281             'N': N, 'x0': x0, 'theta0':
282             theta0, 'z0': z0,
283             'f_mode': f_mode, 'g_mode':
284             g_mode,
285             'g_params': g_params,
286             'delta0': delta0,
287             'renorm_interval': renorm_interval
288         })
289
290     print("□ Erweiterte Daten exportiert.")
291
292 # =====
293 # ZUSAMMENFASSUNG
294 # =====
295
296 end_time = time.time()
297 final_lyap = lyap_cumulative[-1]
298 chaos_status = "CHAOTISCH" if final_lyap > 0.01 else
299     "STABIL" if final_lyap < -0.01 else
300     "GRENZZYKLUS/QUASIPERIODISCH"
301
302

```

```

288 print(f"  Gesamtlaufzeit: {end_time - start_time:.2f}
      Sekunden")
289 print(f"  Finaler Lyapunov-Exponent: {final_lyap:.5f} →
      System ist {chaos_status}")
290 print(f"  Ergebnisse im Ordner:
      {os.path.abspath(output_dir)}")

```

Listing A.3: Visualisierung 3D-Vortex-Simulation mit Lyapunov-Exponent

## A.4 Ergodizität, (Kap. 7)

```

1 # spirale_ergotisch.py
2 import numpy as np
3 import matplotlib.pyplot as plt
4 from scipy.stats import kstest
5 import pandas as pd
6 import os
7
8 # Definition der Self-Modulating Spiral Map
9 def self_mod_map(x, theta, omega=0.05):
10     f_x = x * (1 + 1 / (1 + x**2))
11     x_new = f_x
12     theta_new = (theta + omega * np.log(1 + f_x)) % (2 *
13     np.pi)
14     return x_new, theta_new
15
16 # Simulation einer langen Trajektorie
17 def simulate_long_orbit(x0, theta0, steps=100000,
18     omega=0.05):
19     orbit = np.zeros((steps + 1, 2))
20     orbit[0] = [x0, theta0]
21     for i in range(steps):
22         orbit[i+1] = self_mod_map(orbit[i, 0], orbit[i, 1],
23         omega)
24     return orbit
25
26 # Autokorrelationsfunktion (ACF) berechnen
27 def compute_acf(theta_vals, max_lag=10):
28     series = pd.Series(theta_vals)
29     acf = [series.autocorr(lag=i) for i in range(1, max_lag
30     + 1)]
31     return np.array(acf)

```

```

28
29 # Analyse für einen omega-Wert durchführen und Plots
    erstellen
30 def analyze_omega(omega, x0=1.0, theta0=0.0, steps=100000,
    save_dir='.'):
31     orbit = simulate_long_orbit(x0, theta0, steps, omega)
32     x_vals = orbit[:, 0]
33     theta_vals = orbit[:, 1]
34
35     # KS-Test auf Uniformität
36     theta_norm = theta_vals / (2 * np.pi)
37     ks_stat, p_value = kstest(theta_norm, 'uniform')
38
39     # Mittlere Dichte aus Histogramm
40     hist, _ = np.histogram(theta_vals, bins=100,
    density=True)
41     mean_density = np.mean(hist)
42
43     # ACF berechnen
44     acf = compute_acf(theta_vals)
45
46     # Plots erstellen
47     fig, axs = plt.subplots(1, 3, figsize=(18, 5))
48     fig.suptitle(f'Analyse für  $\omega = \{\text{omega:.4f}\}$ ')
49
50     # Plot 1: Phasenraum  $\log(x)$  vs  $\theta$ 
51     axs[0].scatter(theta_vals, np.log(x_vals + 1), s=1,
    alpha=0.5)
52     axs[0].set_title('Phasenraum:  $\log(x)$  vs  $\theta$ ')
53     axs[0].set_xlabel('θ')
54     axs[0].set_ylabel('log(x + 1)')
55     axs[0].grid(True)
56
57     # Plot 2: Histogramm von  $\theta$ 
58     axs[1].hist(theta_vals, bins=100, density=True,
    alpha=0.7, color='blue')
59     axs[1].axhline(1/(2*np.pi), color='red', linestyle='--',
    label='Uniforme Dichte')
60     axs[1].set_title('Histogramm von  $\theta$ ')
61     axs[1].set_xlabel('θ')
62     axs[1].set_ylabel('Dichte')
63     axs[1].set_xlim([0, 2*np.pi])
64     axs[1].legend()
65     axs[1].grid(True)

```

```

66
67     # Plot 3: Autokorrelationsfunktion
68     lags = np.arange(1, len(acf) + 1)
69     axs[2].stem(lags, acf, basefmt=" ")
70     axs[2].set_title('Autokorrelationsfunktion (ACF) von  $\theta$ ')
71     axs[2].set_xlabel('Lag')
72     axs[2].set_ylabel('ACF')
73     axs[2].set_ylim([-1, 1])
74     axs[2].grid(True)
75
76     plt.tight_layout()
77     plot_filename =
78     f'{save_dir}/analysis_omega_{omega:.4f}.png'
79     plt.savefig(plot_filename)
80     plt.close()
81
82     return {
83         'omega': omega,
84         'ks_stat': ks_stat,
85         'p_value': p_value,
86         'mean_density': mean_density,
87         'acf': acf,
88         'plot_file': plot_filename
89     }
90
91 # Hauptprogramm
92 if __name__ == "__main__":
93     # Liste extremer  $\omega$ -Werte (rationale, irrationale,
94     # kleine/große)
95     omega_list = [0.001, 0.01, 0.05, 0.1, np.pi/10, 1/3,
96     0.5, 2/3, np.sqrt(2)/2, 1.0, np.e/2, 2.0, 10.0]
97     results = []
98
99     save_dir = 'ergodicity_analysis'
100     os.makedirs(save_dir, exist_ok=True)
101
102     for omega in omega_list:
103         print(f'Bearbeite  $\omega = \{omega:.4f\}...$ ')
104         result = analyze_omega(omega, save_dir=save_dir)
105         results.append(result)
106
107     # Ergebnisse in Tabelle zusammenfassen
108     df = pd.DataFrame(results)

```

```

106 df['type'] = ['irrational' if isinstance(w, float) and
not w.is_integer() and w != round(w, 5) else 'rational'
for w in df['omega']]
107 df = df[['omega', 'type', 'ks_stat', 'p_value',
'mean_density', 'acf', 'plot_file']]
108 print('\nZusammenfassung der Ergebnisse:')
109 print(df[['omega', 'type', 'ks_stat', 'p_value',
'mean_density']])
110
111 # ACF in separater Tabelle (nur erste 10 Lags)
112 acf_table = pd.DataFrame([r['acf'] for r in results],
index=omega_list)
113 acf_table.columns = [f'Lag {i+1}' for i in
range(acf_table.shape[1])]
114 print('\nACF-Werte (abgerundet):')
115 print(acf_table.round(4))
116
117 # Speichere Tabellen
118 df.to_csv(f'{save_dir}/summary_results.csv', index=False)
119 acf_table.to_csv(f'{save_dir}/acf_table.csv')
120 print(f'\nErgebnisse gespeichert in {save_dir}')

```

Listing A.4: Visualisierung Ergodizität

## A.5 Stochastische 3D-Spirale (Animation), (Abschn. 8.1.2)

```

1 # spirale_3d_stochastisch_gif_animation.py
2 # Self-Modulating Spiral Map in 3D with Stochastic Noise
3 import numpy as np
4 import matplotlib.pyplot as plt
5 from mpl_toolkits.mplot3d import Axes3D
6 from matplotlib.animation import FuncAnimation, PillowWriter
7 import os
8 import time
9
10 # =====
11 # KONFIGURATION
12 # =====
13
14 N = 3000 # Anzahl der Iterationen
15 x0 = 1.0

```

```

16 theta0 = 0.0
17 z0 = 0.5
18
19 # Steuerparameter
20 omega = 0.05 # Winkelmodulationsstärke (wie in Ihrer Arbeit)
21 vertical_amplitude = 0.4 # Stärke der vertikalen Modulation
22 k_theta = 2.0 # Wellenzahl für vertikale Modulation
23
24 # Rauschparameter (Abschnitt 11.2)
25 noise_enabled = True
26 sigma_x = 0.02 # Standardabweichung für multiplikatives
    Rauschen auf x
27 sigma_theta = 0.05 # Standardabweichung für additives
    Rauschen auf theta (in rad)
28
29 # Lyapunov-Einstellungen (optional, für Chaos-Analyse)
30 lyapunov_enabled = True
31 delta0 = 1e-8 # Anfangsstörung für Schatten-Trajektorie
32 renorm_interval = 20 # Alle 20 Schritte Abstand renormieren
33 dt = 1.0 # Zeitschritt (diskret → dt=1)
34
35 # Ausgabe-Einstellungen
36 save_plots = True
37 save_animation = True # Setze auf False, wenn GIF zu lange
    dauert
38 save_data = True
39 output_dir = './results_3d_stochastic'
40 dpi_plot = 300
41 animation_fps = 20
42 animation_dpi = 100
43
44 # =====
45 # HILFSFUNKTIONEN
46 # =====
47
48 def ensure_output_dir():
49     os.makedirs(output_dir, exist_ok=True)
50
51 def f(x):
52     """Radiale Modulationsfunktion (wie in Ihrer Arbeit, Gl.
    5.1)"""
53     return x * (1 + 1 / (1 + x**2))
54
55 def g_vertical(x, theta, amplitude=0.4, k_theta=2.0):

```

```

56     """Vertikale Modulation: oszilliert mit Winkel und
    Radius (Abschnitt 7.6)"""
57     return 1.0 + amplitude * np.sin(k_theta * theta) *
    np.exp(-x / 10)
58
59 # =====
60 # SIMULATION MIT STOCHASTIK UND LYAPUNOV
61 # =====
62
63 print("□ Starte 3D-Wirbel-Simulation mit stochastischer
    Störung und Lyapunov-Analyse...")
64 start_time = time.time()
65
66 # Haupttrajektorie
67 x = np.zeros(N)
68 theta = np.zeros(N)
69 z = np.zeros(N)
70 x[0] = x0
71 theta[0] = theta0
72 z[0] = z0
73
74 # Schatten-Trajektorie (für Lyapunov)
75 if lyapunov_enabled:
76     x2 = np.zeros(N)
77     theta2 = np.zeros(N)
78     z2 = np.zeros(N)
79     x2[0] = x0 + delta0 # nur x gestört
80     theta2[0] = theta0
81     z2[0] = z0
82
83 # Arrays für Lyapunov
84 if lyapunov_enabled:
85     lyap_sum = 0.0
86     lyap_local = np.zeros(N)
87     lyap_cumulative = np.zeros(N)
88
89 # Hauptiteration
90 for n in range(N - 1):
91     # --- Deterministischer Teil ---
92     x_new = f(x[n])
93     theta_new = theta[n] + omega * np.log(1 + x_new)
94     z_new = z[n] * g_vertical(x[n], theta[n],
    vertical_amplitude, k_theta)
95

```

```

96     # --- Stochastische Störung hinzufügen (Abschnitt 11.2)
97     ---
98     if noise_enabled:
99         # Multiplikatives Rauschen auf x (z.B. turbulente
100         Fluktuation)
101         noise_x = np.random.normal(0, sigma_x)
102         x_new *= (1 + noise_x)
103
104         # Additives Rauschen auf theta (z.B. zufällige
105         Drehimpulsstöße)
106         noise_theta = np.random.normal(0, sigma_theta)
107         theta_new += noise_theta
108
109         # Sicherstellen, dass x positiv bleibt
110         if x_new <= 0:
111             x_new = 1e-6
112
113     # --- Winkel modulo  $\pi 2$  bringen ---
114     theta_new = theta_new % (2 * np.pi)
115
116     # --- Zustand aktualisieren ---
117     x[n+1] = x_new
118     theta[n+1] = theta_new
119     z[n+1] = z_new
120
121     # --- Schatten-Trajektorie (für Lyapunov) ---
122     if lyapunov_enabled:
123         x2_new = f(x2[n])
124         theta2_new = theta2[n] + omega * np.log(1 + x2_new)
125         z2_new = z2[n] * g_vertical(x2[n], theta2[n],
126         vertical_amplitude, k_theta)
127
128         if noise_enabled:
129             # Rauschen auch auf Schatten-Trajektorie
130             anwenden (für fairen Vergleich)
131             noise_x2 = np.random.normal(0, sigma_x)
132             x2_new *= (1 + noise_x2)
133             noise_theta2 = np.random.normal(0, sigma_theta)
134             theta2_new += noise_theta2
135             if x2_new <= 0:
136                 x2_new = 1e-6
137
138             theta2_new = theta2_new % (2 * np.pi)

```



```

135     x2[n+1] = x2_new
136     theta2[n+1] = theta2_new
137     z2[n+1] = z2_new
138
139     # Sicherheitsabfang für extreme Werte
140     for arr in [z, z2]:
141         if np.abs(arr[n+1]) > 1e6:
142             arr[n+1] = np.sign(arr[n+1]) * 1e6
143
144     # --- Lyapunov-Berechnung ---
145     v1 = np.array([x[n+1], theta[n+1], z[n+1]])
146     v2 = np.array([x2[n+1], theta2[n+1], z2[n+1]])
147     d = np.linalg.norm(v2 - v1)
148
149     if d == 0:
150         d = 1e-16
151
152     lyap_local[n+1] = np.log(d / delta0) / dt
153
154     if (n+1) % renorm_interval == 0 and n > 0:
155         # Renormierung: Schatten zurück auf
156         # Haupttrajektorie + normierter Richtungsvektor
157         direction = v2 - v1
158         direction_norm = np.linalg.norm(direction)
159         if direction_norm > 0:
160             direction = direction / direction_norm *
161             delta0
162         else:
163             direction = np.array([delta0, 0, 0]) #
164             Fallback
165
166     x2[n+1] = x[n+1] + direction[0]
167     theta2[n+1] = theta[n+1] + direction[1]
168     z2[n+1] = z[n+1] + direction[2]
169
170     lyap_sum += np.log(d / delta0)
171     lyap_cumulative[n+1] = lyap_sum / ((n+1) * dt)
172     else:
173         lyap_cumulative[n+1] = lyap_cumulative[n] #
174         übernehme alten Wert
175
176 print("□ Simulation abgeschlossen.")
177
178 # Umwandlung in kartesische Koordinaten

```

```

175 X = x * np.cos(theta)
176 Y = x * np.sin(theta)
177 Z = z
178
179 if lyapunov_enabled:
180     X2 = x2 * np.cos(theta2)
181     Y2 = x2 * np.sin(theta2)
182     Z2 = z2
183
184 # =====
185 # STANDARDBILD: 3D-PLOT + LYAPUNOV
186 # =====
187
188 ensure_output_dir()
189
190 fig = plt.figure(figsize=(14, 6))
191
192 # 3D Trajektorie
193 ax1 = fig.add_subplot(121, projection='3d')
194 scatter = ax1.scatter(X, Y, Z, c=np.arange(N),
195                      cmap='plasma', s=5, alpha=0.8)
196 ax1.set_title('3D Trajektorie mit stochastischer Störung')
197 ax1.set_xlabel('$X$')
198 ax1.set_ylabel('$Y$')
199 ax1.set_zlabel('$Z$')
200 fig.colorbar(scatter, ax=ax1, shrink=0.5, label='Iteration')
201
202 # Lyapunov-Plot
203 if lyapunov_enabled:
204     ax2 = fig.add_subplot(122)
205     ax2.plot(range(N), lyap_cumulative, 'k-', linewidth=1.5)
206     ax2.axhline(0, color='r', linestyle='--', alpha=0.7,
207                label='Neutral  $\lambda(=0)$ ')
208     ax2.set_xlabel('Iteration n')
209     ax2.set_ylabel('Lyapunov-Exponent  $\lambda$ ')
210     ax2.set_title('Kumulativer maximaler Lyapunov-Exponent')
211     ax2.grid(True, alpha=0.3)
212     ax2.legend()
213 else:
214     ax2 = fig.add_subplot(122)
215     ax2.text(0.5, 0.5, 'Lyapunov deaktiviert', ha='center',
216            va='center', fontsize=14)
217     ax2.axis('off')

```

```

216 fig.suptitle('Self-Modulating Spiral Map: 3D mit
    Stochastik', fontsize=14)
217
218 if save_plots:
219
220     plt.savefig(f"{output_dir}/3d_trajectory_stochastic.png",
221                 dpi=dpi_plot, bbox_inches='tight')
222     print("□ Statischer Plot gespeichert.")
223
224 plt.show()
225
226 # =====
227 # ANIMATION (optional)
228 # =====
229
230 if save_animation:
231     print("□ Erzeuge GIF-Animation...")
232
233     fig_anim = plt.figure(figsize=(13, 9))
234     ax_anim = fig_anim.add_subplot(111, projection='3d')
235     ax_anim.set_xlim(X.min(), X.max())
236     ax_anim.set_ylim(Y.min(), Y.max())
237     ax_anim.set_zlim(Z.min(), Z.max())
238     ax_anim.set_xlabel('$X$')
239     ax_anim.set_ylabel('$Y$')
240     ax_anim.set_zlabel('$Z$')
241
242     fig_anim.suptitle('SMSM 3D mit Stochastik – Animation',
243                       fontsize=16, fontweight='bold')
244     fig_anim.text(0.5, 0.92, 'Visualisierung: Klaus H.
245     Dieckmann, 2025', ha='center', fontsize=12,
246     style='italic')
247
248     # Textfelder
249     noise_text = fig_anim.text(0.02, 0.02, f"Rauschen:
250      $\sigma_x=\{\sigma_x\}$ ,  $\sigma_\theta=\{\sigma_\theta\}$ ", fontsize=12,
251     bbox=dict(boxstyle="round,pad=0.3",
252     facecolor="lightgreen", alpha=0.7))
253     lyap_text = fig_anim.text(0.98, 0.02, "", ha='right',
254     fontsize=12, bbox=dict(boxstyle="round,pad=0.3",
255     facecolor="lightblue", alpha=0.7))
256
257     line, = ax_anim.plot([], [], [], 'b-', lw=1.5,
258     alpha=0.8, label='Haupttrajektorie')

```

```

248 point, = ax_anim.plot([], [], [], 'ro', markersize=6)
249
250 def animate(frame):
251     step = max(1, N // 200)
252     idx = min(frame * step, N - 1)
253
254     line.set_data(X[:idx+1], Y[:idx+1])
255     line.set_3d_properties(Z[:idx+1])
256     point.set_data([X[idx]], [Y[idx]])
257     point.set_3d_properties([Z[idx]])
258
259     if lyapunov_enabled and idx > 0:
260         current_lyap = lyap_cumulative[idx]
261         lyap_status = "CHAOS" if current_lyap > 0.01
262     else "STABIL" if current_lyap < -0.01 else "NEUTRAL"
263         lyap_text.set_text(f"Lyapunov  $\lambda$  =
264 {current_lyap:.4f}\nStatus: {lyap_status}")
265
266     return line, point, lyap_text
267
268 frames = min(200, N // max(1, N // 200))
269 ani = FuncAnimation(fig_anim, animate, frames=frames,
270 interval=50, blit=False)
271
272 writer = PillowWriter(fps=animation_fps)
273 gif_path = f"{output_dir}/3d_trajectory_stochastic.gif"
274 ani.save(gif_path, writer=writer, dpi=animation_dpi)
275 print(f"  GIF gespeichert: {gif_path}")
276
277 # =====
278 # DATENEXPORT
279 # =====
280
281 if save_data:
282     print("  Exportiere Daten...")
283     np.savetxt(f"{output_dir}/trajectory_cartesian.csv",
284 np.column_stack([X, Y, Z]), delimiter=',',
285 header='X,Y,Z', comments='')
286     np.savetxt(f"{output_dir}/trajectory_polar.csv",
287 np.column_stack([x, theta, z]), delimiter=',',
288 header='x,theta,z', comments='')
289     if lyapunov_enabled:
290         np.savetxt(f"{output_dir}/lyapunov_cumulative.csv",
291 lyap_cumulative, delimiter=',',

```

```

284     header='lambda_cumulative', comments='')
285
286     config = {
287         'N': N,
288         'x0': x0,
289         'theta0': theta0,
290         'z0': z0,
291         'omega': omega,
292         'vertical_amplitude': vertical_amplitude,
293         'k_theta': k_theta,
294         'noise_enabled': noise_enabled,
295         'sigma_x': sigma_x,
296         'sigma_theta': sigma_theta,
297         'lyapunov_enabled': lyapunov_enabled,
298         'delta0': delta0,
299         'renorm_interval': renorm_interval
300     }
301
302     # Speichere Konfiguration als Text
303     with open(f"{output_dir}/simulation_config.txt", 'w') as
304     f:
305         for key, value in config.items():
306             f.write(f"{key}: {value}\n")
307
308     print("□ Daten exportiert.")
309
310     # =====
311     # ZUSAMMENFASSUNG
312     # =====
313
314     end_time = time.time()
315     print(f"□ Gesamtlaufzeit: {end_time - start_time:.2f}
316           Sekunden")
317     print(f"□ Ergebnisse im Ordner:
318           {os.path.abspath(output_dir)}")
319
320     if lyapunov_enabled:
321         final_lyap = lyap_cumulative[-1]
322         chaos_status = "CHAOTISCH" if final_lyap > 0.01 else
323         "STABIL" if final_lyap < -0.01 else
324         "GRENZZYKLUS/QUASIPERIODISCH"
325         print(f"□ Finaler Lyapunov-Exponent: {final_lyap:.5f} →
326               System ist {chaos_status}")

```

## Listing A.5: Visualisierung Stochastische 3D-Spirale (Animation)

**A.6 Komplexe Spirale, (Abschnitt. 9.2.1)**

```

1 # komplexe_spirale_map.py
2 # Self-Modulating Spiral Map in the Complex Plane
3 import numpy as np
4 import matplotlib.pyplot as plt
5 import cmath
6
7 def f(x):
8     """
9     Radial modulation function.
10    x: real, positive scalar (radius)
11    Returns: new radius
12    """
13    return x * (1 + 1 / (1 + x**2))
14
15 def complex_spiral_map(z, omega=0.05):
16     """
17     Iterates the Self-Modulating Spiral Map in the complex
18     plane.
19
20     z: complex number (current state)
21     omega: rotational control parameter
22
23     Returns: z_next (complex number)
24     """
25     x_n = abs(z) # current radius
26     if x_n == 0:
27         return 0 + 0j # avoid division by zero
28
29     f_x = f(x_n) # new radius
30
31     # Calculate the complex multiplier
32     # M = (f_x / x_n) * exp(i * omega * ln(1 + f_x))
33     phase_factor = cmath.exp(1j * omega * np.log(1 + f_x))
34     scaling_factor = f_x / x_n
35
36     multiplier = scaling_factor * phase_factor

```

```

37     z_next = z * multiplier
38     return z_next
39
40 def simulate_complex_orbit(z0, steps=1000, omega=0.05):
41     """
42     Simulates an orbit in the complex plane.
43
44     z0: initial complex state
45     steps: number of iterations
46     omega: control parameter
47
48     Returns: array of complex numbers (trajectory)
49     """
50     orbit = np.zeros(steps + 1, dtype=complex)
51     orbit[0] = z0
52
53     for i in range(steps):
54         orbit[i+1] = complex_spiral_map(orbit[i], omega)
55
56     return orbit
57
58 def spiral_complexity_complex(orbit):
59     """
60     Computes the Spiral Complexity for a complex orbit.
61      $C = (1/(N-1)) * \sum_{i=1}^{N-1} \Delta\theta|_i * \ln(|z_i|)$ 
62
63     orbit: array of complex numbers
64     Returns: scalar complexity value
65     """
66     N = len(orbit)
67     if N < 2:
68         return 0.0
69
70     # Extract radii and angles
71     radii = np.abs(orbit)
72     angles = np.angle(orbit) # in radians, in range [-pi, pi]
73
74     # Compute angular differences (unwrap to avoid 2pi jumps)
75     angles_unwrapped = np.unwrap(angles)
76     dtheta = np.diff(angles_unwrapped) #  $\Delta\theta_i = \theta_{i+1} - \theta_i$ 
77     abs_dtheta = np.abs(dtheta) #  $\Delta\theta|_i|$ 
78

```

```

79     # Use radius at step i (not i+1) for weighting, as in
    original definition
80     complexity = np.mean(abs_dtheta * np.log(radII[1:]))
81     return complexity
82
83 def plot_complex_orbit(orbit, omega, title_suffix=""):
84     """
85     Plots the complex orbit in the complex plane.
86     """
87     real_part = np.real(orbit)
88     imag_part = np.imag(orbit)
89
90     plt.figure(figsize=(10, 8))
91     plt.plot(real_part, imag_part, 'b-', linewidth=1.5,
92             alpha=0.8, label='Trajectory')
93     plt.scatter(real_part[0], imag_part[0], c='red', s=50,
94                 label='Start', zorder=5)
95     plt.scatter(real_part[-1], imag_part[-1], c='green',
96                 s=50, label='End', zorder=5)
97
98     plt.xlabel('Re(z)')
99     plt.ylabel('Im(z)')
100    plt.title(f'Complex Self-Modulating Spiral Map\omega =
    {omega}' + title_suffix)
101    plt.legend()
102    plt.grid(True, alpha=0.3)
103    plt.axis('equal') # Equal scaling for x and y axes
104    plt.savefig('komplexe_spirale_orbit.png', dpi=300)
105    plt.show()
106
107 # --- Main Execution ---
108 if __name__ == "__main__":
109     # Parameters
110     z0 = 1.0 + 0.0j # Start at (x=1, theta=0)
111     omega = 0.05
112     steps = 2000
113
114     print("Simulating Complex Self-Modulating Spiral Map...")
115
116     # Simulate orbit
117     orbit = simulate_complex_orbit(z0, steps=steps,
118                                   omega=omega)
119
120     # Calculate Spiral Complexity

```



```

117 C = spiral_complexity_complex(orbit)
118 print(f"Spiral Complexity C = {C:.6f}")
119
120 # Plot the orbit
121 plot_complex_orbit(orbit, omega, f"\nSpiral Complexity C
= {C:.6f}")
122
123 # --- Parameter Study: Complexity vs. Omega ---
124 print("\nPerforming parameter study: Complexity vs.
Omega...")
125 omega_range = np.linspace(0.01, 0.5, 50)
126 complexities = []
127
128 for w in omega_range:
129     orbit_w = simulate_complex_orbit(z0, steps=1000,
omega=w)
130     C_w = spiral_complexity_complex(orbit_w)
131     complexities.append(C_w)
132     if w in [0.01, 0.1, 0.3, 0.5]:
133         print(f" w={w:.2f} → C={C_w:.6f}")
134
135 complexities = np.array(complexities)
136
137 # Plot Complexity vs. Omega
138 plt.figure(figsize=(8, 5))
139 plt.plot(omega_range, complexities, 'o-',
color='darkblue', linewidth=2, markersize=4)
140 plt.xlabel('w (Steuerparameter)', fontsize=12)
141 plt.ylabel('Spiral-Komplexität C', fontsize=12)
142 plt.title('Spiral-Komplexität als Funktion von w
(Komplexe Ebene)', fontsize=14)
143 plt.grid(True, alpha=0.3)
144 plt.axvline(x=0.1, color='gray', linestyle='--',
alpha=0.7, label='Beginn schneller Zunahme')
145 plt.legend()
146 plt.tight_layout()
147 plt.savefig('komplexe_spirale_complexity_vs_omega.png',
dpi=300)
148 plt.show()
149
150 plt.plot(orbit.real, orbit.imag)
151 plt.xlabel('Realteil')
152 plt.ylabel('Imaginärteil')
153 plt.title('Trajektorie in der komplexen Ebene')

```

```

154 plt.axis('equal')
155 plt.savefig('komplexe_spirale_trajectory.png', dpi=300)
156 plt.show()
157 plt.close("all")

158
159 print(f"Max C: {np.max(complexities):.4f} bei
ω={omega_range[np.argmax(complexities)]:.3f}")
160 print(f"Min C: {np.min(complexities):.4f} bei
ω={omega_range[np.argmin(complexities)]:.3f}")
161
162 print("\nSimulation completed.")

```

Listing A.6: Visualisierung Komplexe Spirale

## A.7 Heterogene Kopplung der Spiralen, (Abschnitt. 10.3.1)

```

1 # spirale_kopplung_heterogen.py
2 # Kopplung mehrerer selbstmodulierender Spiral Maps (SMSM)
  mit heterogenen Frequenzen
3 # → Ermöglicht echten Synchronisationsübergang!
4
5 import numpy as np
6 import matplotlib.pyplot as plt
7 import matplotlib.animation as animation
8 from matplotlib.patches import Circle
9 import cmath
10
11 # === Modulare Funktionen ===
12
13 def f(x):
14     """Radiale Modulationsfunktion."""
15     return x * (1 + 1 / (1 + x**2))
16
17 def complex_spiral_map(z, omega):
18     """Einzelne SMSM-Iteration – NUR Phasendynamik, Radius
  wird auf 1 normiert."""
19     x_n = abs(z)
20     if x_n == 0:
21         return 1 + 0j # Sicherheitsstartwert
22
23     f_x = f(x_n)

```

```

24     phase_factor = cmath.exp(1j * omega * np.log(1 + f_x))
25     # Normiere Eingangszustand, wende nur Phasenrotation an
26     return (z / x_n) * phase_factor
27
28 def coupling_diffusive(z_i, z_left, z_right, K):
29     """Diffusive Kopplung im Ring:  $z_i \leftarrow z_i + K * ((z_{\text{left}} - z_i) + (z_{\text{right}} - z_i))$ """
30     return K * (z_left + z_right - 2*z_i)
31
32 def order_parameter(Z):
33     """Komplexer Ordnungsparameter für Synchronisation:  $R = |\langle \exp(i * \theta_i) \rangle|$ """
34     angles = np.angle(Z)
35     return np.abs(np.mean(np.exp(1j * angles)))
36
37 # === Simulation der gekoppelten SMSM-Einheiten ===
38
39 def simulate_coupled_smsm(N_units=10, steps=500,
40     omega_mean=0.1, omega_spread=0.08, K=0.02):
41     """
42     Simuliert ein Netzwerk gekoppelter SMSM-Einheiten in
43     einem Ring.
44
45     N_units: Anzahl der Einheiten (Oszillatoren)
46     steps: Anzahl der Iterationen
47     omega_mean: mittlere interne Rotationsfrequenz
48     omega_spread: Streuung der Frequenzen (uniform um mean)
49     K: Kopplungsstärke
50     """
51     # Initialisierung: Einheitskreis, gleichmäßig verteilte
52     # Phasen
53     phases_init = np.linspace(0, 2*np.pi, N_units,
54         endpoint=False)
55     Z = np.zeros((steps + 1, N_units), dtype=complex)
56     Z[0] = np.exp(1j * phases_init) # Start auf
57     # Einheitskreis, verschiedene Phasen
58
59     # Heterogene omega_i
60     omega_i = omega_mean + omega_spread *
61     (np.random.rand(N_units) - 0.5)
62     print(f"[Info] Heterogene Frequenzen:  $\omega_i \in$ 
63     [{np.min(omega_i):.4f}, {np.max(omega_i):.4f}]")

```

```

58     R = np.zeros(steps + 1) # Ordnungsparameter pro
Zeitschritt
59     R[0] = order_parameter(Z[0])
60
61     for t in range(steps):
62         Z_next = np.zeros(N_units, dtype=complex)
63         for i in range(N_units):
64             # Nachbarn im Ring (periodisch)
65             left = Z[t, (i-1) % N_units]
66             right = Z[t, (i+1) % N_units]
67             z_i = Z[t, i]
68
69             # Eigenentwicklung mit eigenem omega_i + Kopplung
70             z_intrinsic = complex_spiral_map(z_i, omega_i[i])
71             z_coupling = coupling_diffusive(z_i, left,
right, K)
72             Z_next[i] = z_intrinsic + z_coupling
73
74             Z[t+1] = Z_next
75             R[t+1] = order_parameter(Z_next)
76
77     return Z, R, omega_i
78
79 # === Visualisierungen ===
80
81 def plot_trajectories(Z, K, title_suffix=""):
82     """Plot aller Trajektorien in der komplexen Ebene."""
83     plt.figure(figsize=(10, 8))
84     for i in range(Z.shape[1]):
85         plt.plot(np.real(Z[:, i]), np.imag(Z[:, i]),
linewidth=1, alpha=0.7, label=f'Unit {i+1}' if i < 5 else
""")
86         plt.scatter(np.real(Z[0, :]), np.imag(Z[0, :]), c='red',
s=30, label='Start', zorder=5)
87         plt.scatter(np.real(Z[-1, :]), np.imag(Z[-1, :]),
c='green', s=30, label='Ende', zorder=5)
88         plt.xlabel('Re(z)')
89         plt.ylabel('Im(z)')
90         plt.title(f'Gekoppelte SMSM mit heterogenen  $\omega_i$ 
(N={Z.shape[1]}, K={K})\n' + title_suffix)
91         plt.legend(loc='upper right', fontsize=8)
92         plt.grid(True, alpha=0.3)
93         plt.axis('equal')

```

```

94     plt.savefig('coupled_smsm_heterogen_trajectories.png',
95                 dpi=300, bbox_inches='tight')
96     plt.show()
97
98 def plot_order_parameter(R, K):
99     """Plot des Ordnungsparameters über die Zeit."""
100     plt.figure(figsize=(10, 4))
101     plt.plot(R, color='darkblue', linewidth=2)
102     plt.xlabel('Zeitschritt')
103     plt.ylabel('Ordnungsparameter R')
104     plt.title(f'Synchronisation: R(t) für heterogene  $\omega_i$ , K={K}')
105     plt.grid(True, alpha=0.3)
106     plt.ylim(-0.05, 1.05)
107     plt.axhline(y=1.0, color='gray', linestyle='--',
108                 label='Vollständige Synchronisation')
109     plt.axhline(y=0.0, color='lightgray', linestyle=':',
110                 label='Vollständige Desynchronisation')
111     plt.legend()
112
113     plt.savefig('coupled_smsm_heterogen_order_parameter.png',
114                 dpi=300, bbox_inches='tight')
115     plt.show()
116
117 def plot_angle_evolution(Z, N_show=5):
118     """Plot der Winkelentwicklung der ersten N_show
119     Einheiten."""
120     plt.figure(figsize=(12, 5))
121     for i in range(min(N_show, Z.shape[1])):
122         plt.plot(np.unwrap(np.angle(Z[:, i])), label=f'Unit
123         {i+1}', linewidth=1.5)
124     plt.xlabel('Zeitschritt')
125     plt.ylabel('Winkel  $\theta$  (rad, unwrapped)')
126     plt.title('Winkelentwicklung einzelner Einheiten – zeigt
127     Synchronisationsprozess')
128     plt.legend()
129     plt.grid(True, alpha=0.3)
130     plt.savefig('coupled_smsm_heterogen_angles.png',
131                 dpi=300, bbox_inches='tight')
132     plt.show()
133
134 # === Parameterstudie: Synchronisation vs. Kopplungsstärke K
135 # ===

```

```

127 def parameter_study_sync(N_units=10, steps=500,
    omega_mean=0.1, omega_spread=0.08, K_range=np.linspace(0,
    0.1, 20)):
128     """Untersucht Synchronisation als Funktion der
    Kopplungsstärke K mit heterogenen  $\omega_i$ ."""
129     R_final = []
130     for K in K_range:
131         print(f"Simuliere mit K = {K:.4f}...")
132         Z, R, _ = simulate_coupled_smsm(N_units, steps,
    omega_mean, omega_spread, K)
133         R_final.append(R[-1]) # Endwert des
    Ordnungsparameters
134
135     plt.figure(figsize=(8, 5))
136     plt.plot(K_range, R_final, 'o-', color='darkred',
    linewidth=2, markersize=5)
137     plt.xlabel('Kopplungsstärke K')
138     plt.ylabel('End-Ordnungsparameter R ( $\rightarrow \infty$ )')
139     plt.title(f'Synchronisationsübergang mit heterogenen
     $\omega_i$ \n(N={N_units},  $\omega_{\text{mean}}=\{\text{omega\_mean}\}$ ,
    spread={omega_spread})')
140     plt.grid(True, alpha=0.3)
141     plt.axhline(y=1.0, color='gray', linestyle='--',
    alpha=0.7, label='R=1 (voll synchron)')
142     plt.axhline(y=0.0, color='lightgray', linestyle=':',
    alpha=0.7, label='R=0 (inkohärent)')
143     plt.legend()
144     plt.savefig('coupled_smsm_heterogen_sync_vs_K.png',
    dpi=300, bbox_inches='tight')
145     plt.show()
146
147     return K_range, np.array(R_final)
148
149 # === Hauptprogramm ===
150
151 if __name__ == "__main__":
152     print("=== Simulation gekoppelter SMSM mit heterogenen
    Frequenzen ===")
153
154     # Parameter
155     N_units = 8 # Anzahl der Einheiten
156     steps = 400 # Simulationsschritte
157     omega_mean = 0.1 # mittlere interne Frequenz
158     omega_spread = 0.08 # Streuung  $\pm 0.04$  um Mittelwert

```

```

159     K_test = 0.04          # Test-Kopplung für
    Einzelsimulation
160
161     # Einzelsimulation mit mittlerer Kopplung
162     print(f"\nFühre Einzelsimulation durch mit K =
    {K_test}...")
163     Z, R, omega_i = simulate_coupled_smsm(N_units, steps,
    omega_mean, omega_spread, K_test)
164
165     # Plots für Einzelsimulation
166     plot_trajectories(Z, K_test, f"R_final = {R[-1]:.4f}")
167     plot_order_parameter(R, K_test)
168     plot_angle_evolution(Z, N_show=5)
169
170     # Parameterstudie: Synchronisation vs. K
171     print(f"\nFühre Parameterstudie durch: Synchronisation
    vs. Kopplungsstärke K...")
172     K_vals, R_vals = parameter_study_sync(
173         N_units=N_units,
174         steps=steps,
175         omega_mean=omega_mean,
176         omega_spread=omega_spread,
177         K_range=np.linspace(0, 0.08, 17)
178     )
179
180     # Finale Ausgabe
181     print(f"\nMaximale Synchronisation R_max =
    {np.max(R_vals):.4f} bei K =
    {K_vals[np.argmax(R_vals)]:.4f}")
182     print(f"Minimale Synchronisation R_min =
    {np.min(R_vals):.4f} bei K =
    {K_vals[np.argmin(R_vals)]:.4f}")
183     print("\n Simulation abgeschlossen. Echter
    Synchronisationsübergang sichtbar gemacht.")

```

Listing A.7: Visualisierung Heterogene Kopplung der Spiralen

## A.8 SMSM mit gekoppelten Oszilatoren (Animation), (Abschnitt. 10.3.1)

```

1 # spirale_kopplung_gif_animation.py
2 import numpy as np

```

```

3 import matplotlib.pyplot as plt
4 import matplotlib.animation as animation
5 from matplotlib.patches import Circle
6
7 # Parameter
8 N = 20                      # Anzahl Oszillatoren
9 T = 120                    # Anzahl Zeitschritte
10 dt = 0.1                  # Zeitschritt
11 K = np.linspace(0.0, 2.5, T) # Kopplungsstärke steigt im
    Laufe der Zeit
12 omega = np.random.uniform(0.8, 1.2, N) # Natürliche
    Frequenzen
13 theta = np.random.uniform(0, 2*np.pi, N) # Zufällige
    Anfangsphasen
14
15 # Vorbereitung Plot mit optimierter Größe
16 fig, ax = plt.subplots(figsize=(11, 11))
17 ax.set_xlim(-1.8, 1.8)
18 ax.set_ylim(-2.0, 1.8)
19 ax.set_aspect('equal')
20 ax.axis('off')
21
22 # Titel
23 title = ax.text(0.0, 2.0, "Self-Modulating Spiral Map
    (SMSM):\nGekoppelte Oszillatoren",
24                fontsize=16, ha='center', va='top',
    fontweight='bold')
25
26 # Urheberhinweis - höher positioniert
27 author = ax.text(0.0, 1.7, "Visualisierung: Klaus H.
    Dieckmann, 2025",
28                  fontsize=14, ha='center', va='top',
    color='gray')
29
30 # Kleinerer, zentrierter Kreis
31 circle = Circle((0, 0), 1.0, color='lightgray', fill=False,
    lw=1.5, alpha=0.6)
32 ax.add_artist(circle)
33
34 # Initialisiere Zeiger
35 lines = []
36 dots = []
37 for i in range(N):

```



```

38     line, = ax.plot([0, np.cos(theta[i])*1.0], [0,
39                                     np.sin(theta[i])*1.0],
40                                     lw=2.0, color=plt.cm.hsv(i/N), zorder=2)
41     dot, = ax.plot(np.cos(theta[i])*1.0,
42                   np.sin(theta[i])*1.0, 'o',
43                   color=plt.cm.hsv(i/N), markersize=10,
44                   zorder=3)
45     lines.append(line)
46     dots.append(dot)
47
48 # Text für Kopplungsstärke (kleiner und kompakter)
49 text_K = ax.text(0, 1.4, '', fontsize=12, ha='center',
50                 va='top',
51                 color='darkblue', weight='bold',
52                 bbox=dict(boxstyle="round,pad=0.4",
53                         facecolor="lightblue",
54                         edgecolor="darkblue", alpha=0.7))
55
56 # Breiterer Erklärungstext mit mehr Platz an den Seiten
57 explanation_text = ax.text(0, -1.2, '', fontsize=13,
58                           ha='center', va='top',
59                           bbox=dict(boxstyle="round,pad=0.8",
60                                   facecolor="lightyellow",
61                                   edgecolor="orange",
62                                   alpha=0.9),
63                           linespacing=1.5,
64                           wrap=True) # Textumbruch
65
66 aktivieren
67
68 # Breitere Textbox erzwingen durch manuelle Begrenzung
69 explanation_text._get_wrap_line_width = lambda: 500 #
70     Breite der Textbox erhöhen
71
72 # Phasen-Erklärungen
73 phase_explanations = [
74     "Anfangsphase ( $K < 0.5$ ): Jeder Oszillator schwingt
75     unabhängig. Kaum Synchronisation erkennbar.",
76     "Erste Anpassung ( $K \approx 0.5-1.0$ ): Oszillatoren beginnen
77     sich an benachbarte Phasen anzupassen.",
78     "Clusterbildung ( $K \approx 1.0-1.3$ ): Gruppen synchronisieren
79     sich lokal und bilden Cluster.",
80     "Kritischer Punkt ( $K \approx 1.3-1.6$ ): Kopplung löst globale
81     Synchronisation aus.",

```

```

67     "Teilweise Synchronisation ( $K \approx 1.6-2.0$ ): Großteil der
68     Oszillatoren schwingt im Gleichtakt.",
69     "Volle Synchronisation ( $K > 2.0$ ): Fast alle Oszillatoren
70     sind perfekt synchronisiert."
71 ]
72 # Update-Funktion für Animation
73 def animate(t):
74     global theta
75     k = K[t] # Kopplungsstärke steigt mit der Zeit
76
77     # Kuramoto-Gleichung
78     dtheta = np.zeros_like(theta)
79     for i in range(N):
80         dtheta[i] = omega[i] + (k / N) * np.sum(np.sin(theta
81 - theta[i]))
82
83     theta += dtheta * dt
84     theta = np.mod(theta, 2*np.pi)
85
86     # Update der Zeiger und Punkte
87     for i in range(N):
88         x, y = np.cos(theta[i])*1.0, np.sin(theta[i])*1.0
89         lines[i].set_data([0, x], [0, y])
90         dots[i].set_data([x], [y])
91
92     # Update Kopplungsstärke-Text (kürzer und prägnanter)
93     text_K.set_text(f'$Kopplungsstärke = {k:.2f}$')
94
95     # Dynamische Erklärung basierend auf Kopplungsstärke
96     if k < 0.5:
97         explanation = phase_explanations[0]
98     elif k < 1.0:
99         explanation = phase_explanations[1]
100     elif k < 1.3:
101         explanation = phase_explanations[2]
102     elif k < 1.6:
103         explanation = phase_explanations[3]
104     elif k < 2.0:
105         explanation = phase_explanations[4]
106     else:
107         explanation = phase_explanations[5]
108
109     # Berechne Synchronisationsparameter r

```

```

108     r = np.abs(np.sum(np.exp(1j * theta)) / N)
109
110     # Füge Synchronisationsgrad zum Text hinzu
111     sync_text = f'\nSynchronisation: r = {r:.2f}'
112     if r > 0.8:
113         sync_text += ' (stark)'
114     elif r > 0.5:
115         sync_text += ' (mittel)'
116     else:
117         sync_text += ' (schwach)'
118
119     explanation_text.set_text(explanation + sync_text)
120
121     return lines + dots + [text_K, explanation_text]
122
123 # Animation
124 ani = animation.FuncAnimation(fig, animate, frames=T,
125                               interval=80, blit=True)
126 ani.save('spirale_gekoppelte_oszillatoren.gif',
127          writer='pillow', fps=20, dpi=100)
128
129 plt.tight_layout(pad=3.0) # Mehr Padding für bessere
130                             Textdarstellung
131 plt.subplots_adjust(top=0.85, bottom=0.22) # Anpassung der
132                                             Ränder
133 plt.show()

```

Listing A.8: Visualisierung SMSM mit gekoppelten Oszillatoren (Animation)

## A.9 Inverse Spirale (Animation), (Abschnitt. 12.2)

```

1 # spirale_invers_gif_animation.py
2 import numpy as np
3 import matplotlib.pyplot as plt
4 import matplotlib.animation as animation
5 from mpl_toolkits.mplot3d import Axes3D
6
7 # Parameter
8 N = 300          # Anzahl Punkte in der Spirale
9 T = 120          # Anzahl Frames
10 max_radius = 3.0 # Startet oben (breite Basis)
11 min_radius = 0.1 # Endet unten (schmale Spitze)

```

```

12 omega = 1.5      # Winkelgeschwindigkeit
13 height = 5.0     # Höhe des Tornados
14
15 # Vorbereitung 3D-Plot
16 fig = plt.figure(figsize=(12, 10))
17 ax = fig.add_subplot(111, projection='3d')
18 ax.set_xlim(-3.5, 3.5)
19 ax.set_ylim(-3.5, 3.5)
20 ax.set_zlim(0, height)
21 ax.set_box_aspect([1, 1, 1]) # Gleichmäßige Skalierung
22
23 # Weißer Hintergrund
24 fig.patch.set_facecolor('white')
25 ax.set_facecolor('white')
26 ax.xaxis.set_pane_color((1.0, 1.0, 1.0, 1.0))
27 ax.yaxis.set_pane_color((1.0, 1.0, 1.0, 1.0))
28 ax.zaxis.set_pane_color((1.0, 1.0, 1.0, 1.0))
29
30 # Gitter und Achsen ausblenden
31 ax.grid(False)
32 ax.set_axis_off()
33
34 # Titel hinzufügen
35 title = fig.suptitle("Self-Modulation Spiral Map (SMSM):
36     Inverse Spirale",
37     fontsize=16, fontweight='bold', y=0.92,
38     color='darkblue')
39
40 # Urhebervermerk
41 author = fig.text(0.5, 0.85, "Visualisierung: Klaus H.
42     Dieckmann, 2025",
43     fontsize=14, ha='center', va='top',
44     color='darkgreen')
45
46 # Farben für die verschiedenen Phasen
47 phase_colors = ["#F04444", "#2C6B66", "#2C6B79", "#7D672B"]
48 phase_names = [
49     "Initiationsphase: Breite Basis am oberen Ende bildet
50     sich",
51     "Kontraktionsphase: Spirale verjüngt sich nach unten",
52     "Stabilisierungsphase: Gleichmäßige Drehbewegung setzt
53     ein",
54     "Dissipationsphase: Auflösung an der schmalen Spitze
55     beginnt"

```

```

49 ]
50
51 # Erklärungstext
52 explanation_text = fig.text(0.5, 0.05, phase_names[0],
53                             fontsize=13, ha='center', va='bottom',
54                             color=phase_colors[0],
55
56                             bbox=dict(boxstyle="round,pad=0.5",
57                                     facecolor="lightyellow", alpha=0.8))
58
59 # Initialisiere Spirale (leer)
60 spiral, = ax.plot([], [], [], 'o', markersize=3,
61                  color='#606060', alpha=0.7)
62
63 # Update-Funktion
64 def animate(t):
65     # Radius schrumpft mit der Zeit (oben groß, unten klein)
66     current_radius = max_radius * (1 - t / T) + min_radius *
67     (t / T)
68
69     # Winkel: mit negativem Vorzeichen → "Tornado-Drehung"
70     # (im Uhrzeigersinn)
71     theta = np.linspace(0, 6*np.pi, N) - omega * t * 0.1
72
73     # Radius entlang der Spirale modulieren
74     r = np.linspace(current_radius, min_radius, N)
75
76     # Höhe entlang der Spirale (oben = 0, unten = height -
77     # invertiert für Tornado-Optik)
78     z = np.linspace(height, 0, N) # Umgekehrte Reihenfolge
79     # für "auf dem Kopf stehenden" Tornado
80
81     # Umrechnung in x, y, z
82     x = r * np.cos(theta)
83     y = r * np.sin(theta)
84
85     # Update Plot
86     spiral.set_data(x, y)
87     spiral.set_3d_properties(z)
88
89     # Dynamischen Erklärungstext basierend auf dem aktuellen
90     # Frame anzeigen
91     phase = min(3, t // (T // 4)) # Bestimme die aktuelle
92     # Phase (0-3)

```

```

83
84     # Text mit Farbe aktualisieren
85     explanation_text.set_text(f"Phase {phase+1}/4:
86     {phase_names[phase]}")
87     explanation_text.set_color(phase_colors[phase])
88
89     return [spiral, explanation_text]
90
91 # Animation ohne Blitting, da es mit 3D Probleme verursacht
92 ani = animation.FuncAnimation(fig, animate, frames=T,
93                               interval=60, blit=False, repeat=True)
94
95 plt.tight_layout(rect=[0, 0.1, 1, 0.9]) # Platz für Titel
96     und Erklärung lassen
97 # Speichern der Animation als GIF mit 15 Sekunden Dauer (8
98     FPS)
99 ani.save('spirale_invers_animation.gif', writer='pillow',
100         fps=8, dpi=100)
101
102 plt.show()

```

Listing A.9: Visualisierung Inverse Spirale (Animation)

## A.10 Bifurkation der Spirale, (Abschnitt. 4.6.2)

```

1 # spirale_bifurkation.py
2 # Bifurkationsanalyse der Self-Modulating Spiral Map (SMSM)
3 # mit Poincaré-Schnitt bei theta = 0 (mod 2pi)
4 # BUNTE Version: Farbe zeigt die Punktdichte (Histogramm2D)
5
6 import numpy as np
7 import matplotlib.pyplot as plt
8 from matplotlib.colors import LogNorm
9 import matplotlib.cm as cm
10
11 def self_mod_map(x, theta, omega):
12     """
13     Iteriert die Self-Modulating Spiral Map (SMSM).
14     """
15     f_x = x * (1 + 1 / (1 + x**2))
16     x_new = f_x
17     theta_new = (theta + omega * np.log(1 + f_x)) % (2 *
18     np.pi)

```

```

18     return x_new, theta_new
19
20 def compute_poincare_bifurcation_data(omega_min, omega_max,
21     num_omega, transient_steps, max_iterations):
22     """
23     Berechnet die Daten für das Bifurkationsdiagramm
24     basierend auf Poincaré-Schnitten.
25     """
26     omega_values = []
27     x_values = [] # Wir speichern den Radius x beim
28     Poincaré-Schnitt
29
30     omega_range = np.linspace(omega_min, omega_max,
31     num_omega)
32
33     for omega in omega_range:
34         x, theta = 1.0, 0.0
35
36         # Transient-Phase
37         for _ in range(transient_steps):
38             x, theta = self_mod_map(x, theta, omega)
39
40         # Haupt-Phase: Suche nach Poincaré-Schnitten
41         last_theta = theta
42         points_recorded = 0
43
44         for step in range(max_iterations):
45             x, theta = self_mod_map(x, theta, omega)
46
47             # Poincaré-Schnitt erkennen: Übergang von >pi zu
48             <pi
49             if last_theta > np.pi and theta < np.pi:
50                 omega_values.append(omega)
51                 x_values.append(x)
52                 points_recorded += 1
53
54                 # Optional: Begrenze die Anzahl der Punkte
55                 pro omega
56                 if points_recorded >= 150:
57                     break
58
59             last_theta = theta

```

```

55     print(f"Berechne  $\omega$  = {omega:.4f}
({len(omega_values)} Punkte gesammelt)...", end='\r')
56
57     print("\nBerechnung abgeschlossen.")
58     return np.array(omega_values), np.array(x_values)
59
60 def plot_poincare_bifurcation_diagram_colored(omega_values,
x_values, bins=300):
61     """
62     Plottet das Bifurkationsdiagramm als 2D-Histogramm
(Dichtekarte).
63     """
64     plt.figure(figsize=(16, 8))
65
66     # Erstelle ein 2D-Histogramm. Die Farbe zeigt die Anzahl
der Punkte pro Bin.
67     # 'plasma' ist eine gute Wahl, aber Sie können auch
'viridis', 'inferno', 'jet' oder 'turbo' probieren.
68     counts, xedges, yedges, im = plt.hist2d(
69         omega_values, x_values,
70         bins=[bins//2, bins], # Mehr Bins in y-Richtung
(x-Werte) für schärfere Linien
71         cmap='plasma', # Weitere Optionen:
'viridis', 'inferno', 'turbo', 'jet'
72         norm=LogNorm(), # Logarithmische Skala: macht
seltene und häufige Ereignisse sichtbar
73         range=[[omega_values.min(), omega_values.max()],
[x_values.min(), x_values.max()]]
74     )
75
76     plt.colorbar(im, label='Log(Punktdichte)')
77     plt.xlabel('Steuerparameter  $\omega$ ', fontsize=16,
fontweight='bold')
78     plt.ylabel('Radius x beim Poincaré-Schnitt  $\theta \pmod{\pi 2} = 0$ ',
fontsize=16, fontweight='bold')
79     plt.title('Bifurkationsdiagramm der SMSM
(Poincaré-Schnitt)\n'
80             'Farbe zeigt die Dichte der Zustände –
Übergang zu Chaos bei  $\omega \approx 0.2$ ',
81             fontsize=18, fontweight='bold')
82     plt.axvline(x=0.2, color='cyan', linestyle='--',
linewidth=3, label='Chaos-Übergang  $\omega (\approx 0.2)$ ')
83     plt.legend(fontsize=14, loc='upper left')
84     plt.grid(True, alpha=0.3, linestyle='--')

```



```

85 plt.tight_layout()
86 plt.savefig('smsm_bifurkation_poincare_colored.png',
87 dpi=300, bbox_inches='tight')
88 plt.show()
89
90 # Optional: Ein zweiter Plot mit einer anderen
91 Farbpalette, z.B. 'turbo' für maximale Buntheit
92 plt.figure(figsize=(16, 8))
93 counts, xedges, yedges, im = plt.hist2d(
94     omega_values, x_values,
95     bins=[bins//2, bins],
96     cmap='turbo', # 'turbo' ist wie 'jet', aber ohne
97     harte Übergänge – sehr bunt!
98     norm=LogNorm(),
99     range=[[omega_values.min(), omega_values.max()],
100            [x_values.min(), x_values.max()]]
101 )
102 plt.colorbar(im, label='Log(Punktdichte)')
103 plt.xlabel('Steuerparameter  $\omega$ ', fontsize=16,
104 fontweight='bold')
105 plt.ylabel('Radius  $x$  beim Poincaré-Schnitt',
106 fontsize=16, fontweight='bold')
107 #plt.title('Bifurkationsdiagramm', fontsize=18,
108 fontweight='bold')
109 plt.title('Bifurkationsdiagramm der SMSM
110 (Poincaré-Schnitt)\n'
111           'Farbe zeigt die Dichte der Zustände –
112 Übergang zu Chaos bei  $\omega \approx 0.2$ ',
113           fontsize=18, fontweight='bold')
114 plt.axvline(x=0.2, color='white', linestyle='--',
115 linewidth=3, label=' $\omega \approx 0.2$ ')
116 plt.legend(fontsize=14, loc='upper left')
117 plt.grid(True, alpha=0.3, linestyle='--')
118 plt.tight_layout()
119 plt.savefig('smsm_bifurkation_poincare_turbo.png',
120 dpi=300, bbox_inches='tight')
121 plt.show()
122 plt.close('all')
123
124 # Hauptprogramm
125 if __name__ == "__main__":
126     print("Starte BUNTE Bifurkationsanalyse der SMSM mit
127     Poincaré-Schnitt...")

```

```

117 OMEGA_MIN = 0.05
118 OMEGA_MAX = 0.5
119 NUM_OMEGA = 400
120 TRANSIENT_STEPS = 3000
121 MAX_ITERATIONS = 50000
122
123 omega_vals, x_vals = compute_poincare_bifurcation_data(
124     OMEGA_MIN, OMEGA_MAX, NUM_OMEGA, TRANSIENT_STEPS,
125     MAX_ITERATIONS
126 )
127
128 # Erstelle das bunte Dichtediagramm
129 plot_poincare_bifurcation_diagram_colored(omega_vals,
130 x_vals, bins=400)
131
132 print("Bifurkationsdiagramme gespeichert als
133 'smsm_bifurkation_poincare_colored.png' und
134 'smsm_bifurkation_poincare_turbo.png'.")

```

Listing A.10: Visualisierung Bifurkation der Spirale

## A.11 Bifurkationsanalyse (Animation), (Abschnitt. 4.6.2)

```

1 # bifurkation_smsm_poincare_gif_animated.py
2 # Animiertes Bifurkationsdiagramm der SMSM mit
3   Poincaré-Schnitt und dynamischem Erklärtext
4
5 import numpy as np
6 import matplotlib.pyplot as plt
7 from matplotlib.colors import LogNorm, Normalize
8 from matplotlib.animation import FuncAnimation, PillowWriter
9 import os
10
11 def self_mod_map(x, theta, omega):
12     f_x = x * (1 + 1 / (1 + x**2))
13     x_new = f_x
14     theta_new = (theta + omega * np.log(1 + f_x)) % (2 *
15 np.pi)
16     return x_new, theta_new

```

```

16 def compute_poincare_data_for_omega(omega, transient_steps,
17     max_points):
18     x, theta = 1.0, 0.0
19     omega_vals, x_vals = [], []
20
21     # Transient-Phase
22     for _ in range(transient_steps):
23         x, theta = self_mod_map(x, theta, omega)
24
25     # Sammle Punkte beim Poincaré-Schnitt
26     last_theta = theta
27     points_collected = 0
28
29     iteration = 0
30     while points_collected < max_points and iteration <
31         100000:
32         x, theta = self_mod_map(x, theta, omega)
33         if last_theta > np.pi and theta < np.pi:
34             omega_vals.append(omega)
35             x_vals.append(x)
36             points_collected += 1
37             last_theta = theta
38             iteration += 1
39
40     return np.array(omega_vals), np.array(x_vals)
41
42 def create_animation():
43     # Konfiguration
44     OMEGA_MIN = 0.05
45     OMEGA_MAX = 0.5
46     NUM_FRAMES = 100
47     TRANSIENT_STEPS = 3000
48     POINTS_PER_OMEGA = 80
49
50     omega_values = np.linspace(OMEGA_MIN, OMEGA_MAX,
51     NUM_FRAMES)
52     all_omega_data = []
53     all_x_data = []
54
55     print("Berechne Daten für Animation...")
56     for omega in omega_values:
57         w_vals, x_vals =
58         compute_poincare_data_for_omega(omega, TRANSIENT_STEPS,
59         POINTS_PER_OMEGA)

```

```

55     all_omega_data.append(w_vals)
56     all_x_data.append(x_vals)
57     print(f"Abgeschlossen:  $\omega = \{\omega: .4f\}$ ")
58
59     # Erstelle die Figur für die Animation
60     fig, ax = plt.subplots(figsize=(16, 9)) # 16:9 Format
        für bessere Präsentation
61
62     # Setze feste Achsenlimits
63     ax.set_xlim(OMEGA_MIN, OMEGA_MAX)
64     global_y_min = min([x.min() for x in all_x_data if
65 len(x) > 0])
66     global_y_max = max([x.max() for x in all_x_data if
67 len(x) > 0])
68     ax.set_ylim(global_y_min * 0.95, global_y_max * 1.05)
69
70     ax.set_xlabel('Steuerparameter  $\omega$ ', fontsize=16,
71 fontweight='bold')
72     ax.set_ylabel('Radius  $x$  beim Poincaré-Schnitt  $\theta \pmod{\pi 2} = 0$ ',
73 fontsize=16, fontweight='bold')
74     ax.set_title('Bifurkationsanalyse der Self-Modulating
75 Spiral Map (SMSM)', fontsize=16, fontweight='bold')
76     # Hinzufügen des Urheberhinweises direkt darunter
77     fig.text(0.5, 0.75, 'Visualisierung: Klaus H. Dieckmann,
78 2025',
79             fontsize=13, ha='center', va='top', style='italic',
80 color='gray')
81     ax.grid(True, alpha=0.3, linestyle='--')
82
83     # Initialisiere Scatter-Plot OHNE cmap/norm, um Warning
84     zu vermeiden
85     scatter = ax.scatter([], [], s=15, alpha=0.85,
86 edgecolors='none')
87     # Farbgebung wird später dynamisch gesetzt
88
89     # Vertikale Linie für aktuellen  $\omega$ -Wert
90     vline = ax.axvline(x=OMEGA_MIN, color='cyan',
91 linestyle='--', linewidth=3)
92
93     # Text für aktuellen  $\omega$ -Wert
94     omega_text = ax.text(0.02, 0.95, '',
95 transform=ax.transAxes, fontsize=14,
96                        verticalalignment='top',

```

```

86         bbox=dict(boxstyle="round,pad=0.3",
87         facecolor="cyan", alpha=0.7))
88
89     # Dynamischer Erklärtext (zentraler Fokus!)
90     explanation_text = ax.text(0.5, 0.95, '',
91     transform=ax.transAxes, fontsize=12,
92     fontweight='bold',
93     ha='center', va='top',
94
95     bbox=dict(boxstyle="round,pad=0.5", facecolor="yellow",
96     alpha=0.8))
97
98     def get_phase_description(current_omega):
99         """Gibt eine textuelle Beschreibung der aktuellen
100         Phase basierend auf  $\omega$ ."""
101         if current_omega < 0.15:
102             return "PHASE 1: GEORDNETE DYNAMIK\nSystem folgt
103             einer stabilen, vorhersehbaren Spirale."
104         elif current_omega < 0.22:
105             return "PHASE 2: KRITISCHER ÜBERGANG\nSystem
106             nähert sich dem Bifurkationspunkt – erste Anzeichen von
107             Instabilität."
108         elif current_omega < 0.35:
109             return "PHASE 3: EINTRITT INS CHAOS\nStruktur
110             verzweigt sich – deterministisches Chaos setzt ein."
111         else:
112             return "PHASE 4: TIEFES CHAOS\nSystem zeigt
113             komplexe, unvorhersehbare Dynamik – sensitive
114             Abhängigkeit von Anfangsbedingungen."
115
116     def animate(frame):
117         # Sammle alle Daten bis zum aktuellen Frame
118         current_omega = omega_values[frame]
119         combined_omega =
120         np.concatenate(all_omega_data[:frame+1])
121         combined_x = np.concatenate(all_x_data[:frame+1])
122
123         if len(combined_omega) == 0:
124             return scatter, vline, omega_text,
125             explanation_text
126
127         # Aktualisiere Scatter-Plot
128         scatter.set_offsets(np.column_stack([combined_omega,
129         combined_x]))

```

```

115         # Farbe nach  $\omega$ -Wert (nicht nach Dichte, da das in
116         Animation zu langsam ist)
117         scatter.set_array(combined_omega)
118         scatter.set_cmap('plasma') # Jetzt sinnvoll, da
119         Daten vorhanden sind
120         scatter.set_clim(OMEGA_MIN, OMEGA_MAX)
121
122         # Aktualisiere vertikale Linie und Texte
123         vline.set_xdata([current_omega, current_omega])
124         omega_text.set_text(f'aktueller  $\omega$  =
125         {current_omega:.3f}')
126         explanation_text.set_text(
127         get_phase_description(current_omega))
128
129         return scatter, vline, omega_text, explanation_text
130
131     print("Erzeuge Animation...")
132     anim = FuncAnimation(fig, animate, frames=NUM_FRAMES,
133     interval=150, blit=False, repeat=False)
134
135     # Speichere Animation
136     os.makedirs('results', exist_ok=True)
137     writer = PillowWriter(fps=10)
138     anim.save('smsm_bifurkation_animated.gif',
139     writer=writer, dpi=120)
140     print(" Animation erfolgreich gespeichert als
141     'smsm_bifurkation_animated.gif'.")
142
143     # Zeige letzten Frame als statisches Bild (optional)
144     plt.show()
145
146 if __name__ == "__main__":
147     create_animation()

```

Listing A.11: Visualisierung Bifurkationsanalyse (Animation)

## Hinweis zur Nutzung von KI

Die Ideen und Konzepte dieser Arbeit stammen von mir. Künstliche Intelligenz wurde unterstützend für die Textformulierung und Gleichungsformatierung eingesetzt. Die inhaltliche Verantwortung liegt bei mir.<sup>1</sup>

<sup>1</sup>ORCID: <https://orcid.org/0009-0002-6090-3757>

Stand: 24. September 2025

TimeStamp: [https://freettsa.org/index\\_de.php](https://freettsa.org/index_de.php)

## Literatur

- [1] Barge, P., & Sommeria, J. (1995). *Did planet formation begin inside persistent gaseous vortices?* *Astronomy and Astrophysics*, 295, L1–L4.
- [2] Chelton, D. B., Schlax, M. G., & Samelson, R. M. (2011). *Global observations of nonlinear mesoscale eddies*. *Progress in Oceanography*, 91(2), 167–216. <https://doi.org/10.1016/j.pocean.2011.01.002>
- [3] Holton, J. R. und Hakim, G. J. *An Introduction to Dynamic Meteorology*. 5th Edition, Academic Press, 2012. Kapitel 7-9, S. 189-254. ISBN 978-0-12-384866-6.
- [4] Lyra, W., & Lin, M.-K. (2013). *Formation and long-term evolution of 3D vortices in protoplanetary discs*. *The Astrophysical Journal*, 775(1), 17. <https://doi.org/10.1088/0004-637X/775/1/17>
- [5] Ott, E.. *Chaos in Dynamical Systems*. Cambridge University Press, 2002.
- [6] Pikovsky, A., Rosenblum, M., & Kurths, J.. *Synchronization: A Universal Concept in Nonlinear Sciences*. Cambridge University Press, 2001.
- [7] Powell, M. D., Uhlhorn, E. W., & Kepert, J. D. (2009). *Estimating Maximum Surface Winds from Hurricane Reconnaissance Measurements*. *Weather and Forecasting*, 24(3), 868–883. <https://doi.org/10.1175/2008WAF2007087.1>
- [8] Strogatz, S. H.: *Nonlinear Dynamics and Chaos*. Westview Press, 1994. DOI: 10.1201/9780429492563.
- [9] Willoughby, H. E., Rahn, M. E. (2004). *Parametric Representation of the Primary Hurricane Vortex. Part I: Observations and Evaluation of the Holland (1980) Model*. *Monthly Weather Review*, 132(12), 3033–3048. <https://doi.org/10.1175/MWR2831.1>